

高輝度電子錐シミュレーション研究会
2006年12月7-8日, 京都大学(宇治)

時間領域境界要素法(TDBEM)による 粒子加速器航跡場の数値解析法の概要と課題

CONTENTS

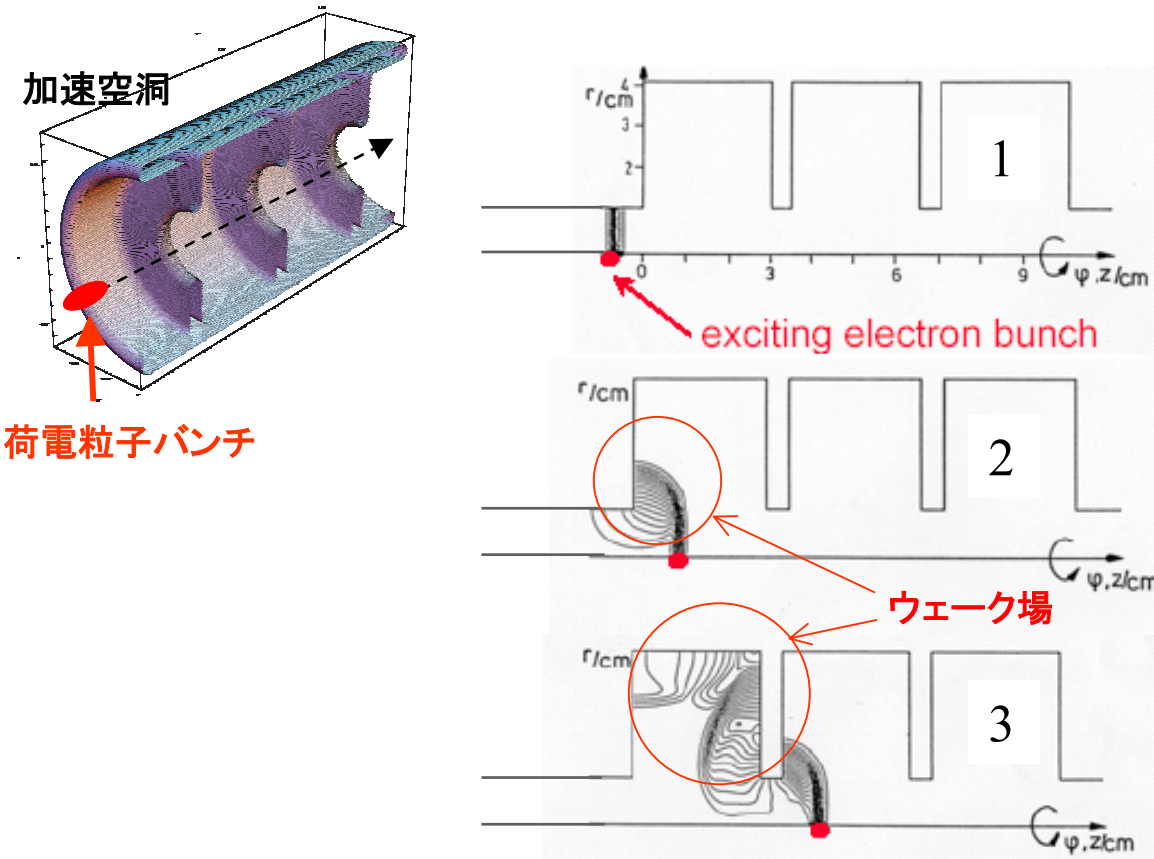
- 航跡場解析の背景
- 時間領域境界要素法(TDBEM)
- 時間領域境界要素法による航跡場解析
- 数値解析コード
- 数値解析例
- 今後の課題

川口秀樹
室蘭工業大学 電気電子工学科

藤田和広
北海道大学 大学院工学研究科

1. 航跡場解析の背景

1. 1 航跡場解析の概要



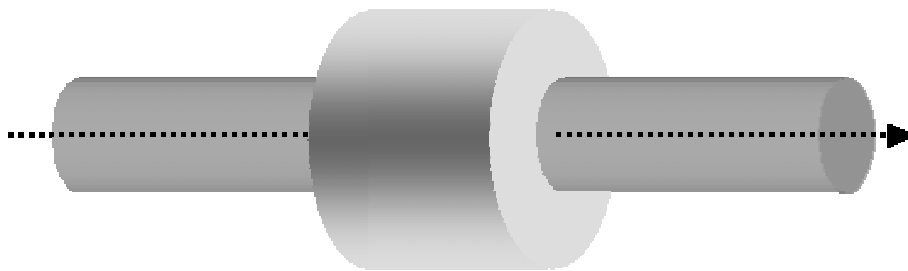
ウェーク場の影響

- ・エネルギーロス
- ・質の劣化
- ・強度の制限

ウェーク場の数値解析法

- ・解析的(近似形状)
- ・FDTD/FIT法(差分法)
- ・時間領域境界要素法

1. 2 従来の航跡場の数値解析法

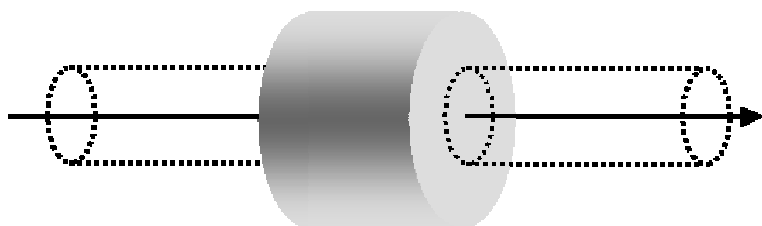


解析的(近似形状)

パイプの影響
を無視し解析

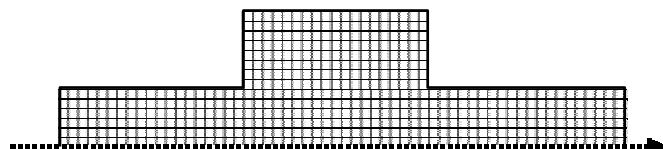
格子状に離散化
して数値解析

FDTD/FIT 法(差分法)



計算速度 速

対称性のある形状(円柱、球)のみ



計算速度 速

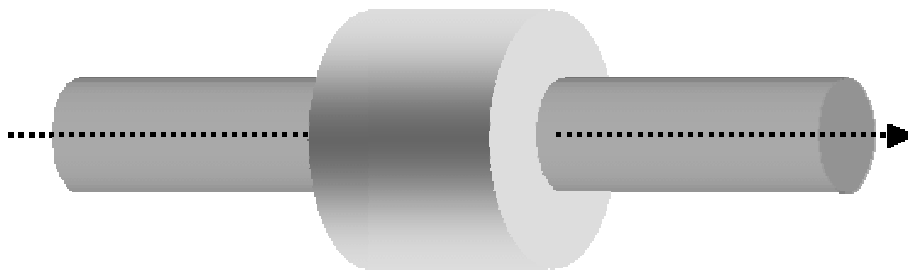
任意形状

直線軌道のみ

航跡場 + 自己場

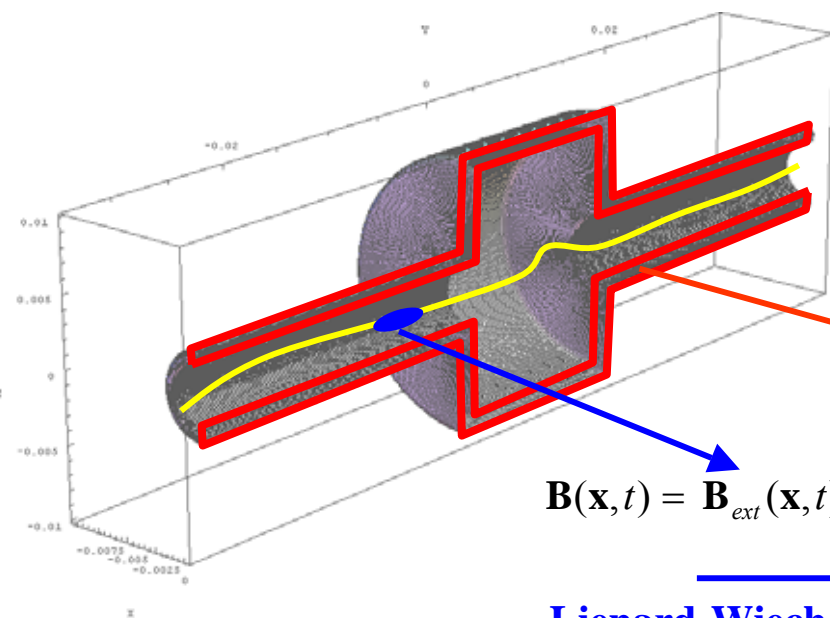
グリッド分散

1. 3 時間領域境界要素法の利点



時間領域境界要素法

境界のみを離散化し
積分方程式解析



TDBEM $\left\{ \begin{array}{l} 3D \\ 2D\text{軸対称} \\ 2.5\text{次元} \end{array} \right.$

計算速度 遅
安定性
曲線軌道も可
航跡場 + 自己場の分離が可能
任意形状
グリッド分散なし

$$\mathbf{B}(\mathbf{x}, t) = \mathbf{B}_{ext}(\mathbf{x}, t) - \frac{1}{4\pi} \int_S \left[\frac{\mathbf{x} - \mathbf{x}'}{|\mathbf{x} - \mathbf{x}'|^3} + \frac{\mathbf{x} - \mathbf{x}'}{|\mathbf{x} - \mathbf{x}'|^2} \frac{\partial}{c \partial t} \right] \times \mathbf{B}_t(\mathbf{x}', t - \frac{|\mathbf{x} - \mathbf{x}'|}{c}) dS'$$

Lienard-Wiechert fields

Wade fields

2. 時間領域境界要素法（TDBEM）

2.1 電磁場のタイプと電磁界数値解析

| method em fields | | FDM | FEM | BEM |
|---------------------|---------------------|--------------|-----|-----|
| Static | | | | |
| Quasi- Static | Frequency Domain | | | |
| | Time Domain | | | |
| High- Freq. | Frequency Domain | | | |
| | Time Domain | FDTD /FIT | | |

| | |
|----|-----------------|
| 2D | 2D Systems |
| | Axis-symm. Sys. |
| 3D | Full 3D Systems |

For open boundary problems
For coupled problems with charged particles

Unstable in long time range calculation
Heavy calculation cost
Large required memory

2. 2 時間領域境界積分方程式

Green's theorem in time domain

$$\int_{\Omega} \left(\frac{\partial^2 \Phi}{\partial x_\lambda \partial x^\lambda} \Psi - \Phi \frac{\partial^2 \Psi}{\partial x_\lambda \partial x^\lambda} \right) d\Omega = \int_{S+V_\infty + V_{-\infty}} \left(\frac{\partial \Phi}{\partial x^\nu} \Psi - \Phi \frac{\partial \Psi}{\partial x^\nu} \right) dV^\nu$$

scalar & vector potentials

$$\Phi \leftarrow \left(\nabla^2 - \frac{\partial^2}{c^2 \partial t^2} \right) \phi = -\frac{\rho}{\epsilon} \quad \left(\nabla^2 - \frac{\partial^2}{c^2 \partial t^2} \right) \mathbf{A} = -\mu \mathbf{J}$$

fundamental solutions

$$\Psi \leftarrow G(ct, \mathbf{x}; ct', \mathbf{x}') = \frac{1}{4\pi} \frac{\delta(t' - t + \frac{|\mathbf{x} - \mathbf{x}'|}{c})}{|\mathbf{x} - \mathbf{x}'|}$$

Boundary conditions

$$\phi = 0 \quad \mathbf{A} = 0$$



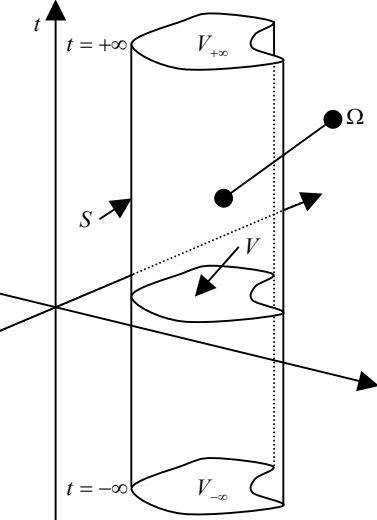
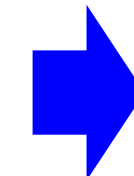
$$\mathbf{E} \times \mathbf{n} = 0 \quad \mathbf{B} \cdot \mathbf{n} = 0$$

Boundary integral equations

$$\phi(ct, \mathbf{x}) = \frac{1}{4\pi\epsilon} \int_{\Omega} \frac{\rho \left(t - \frac{|\mathbf{x} - \mathbf{x}'|}{c}, \mathbf{x}' \right)}{|\mathbf{x} - \mathbf{x}'|} dV' + \frac{1}{4\pi} \int_S \left(\frac{1}{|\mathbf{x} - \mathbf{x}'|} \frac{\partial \phi \left(t - \frac{|\mathbf{x} - \mathbf{x}'|}{c}, \mathbf{x}' \right)}{\partial n} \right) dS' + \frac{\partial G}{\partial t}$$

$$\mathbf{A}(ct, \mathbf{x}) = \frac{\mu}{4\pi} \int_{\Omega} \frac{\mathbf{J} \left(t - \frac{|\mathbf{x} - \mathbf{x}'|}{c}, \mathbf{x}' \right)}{|\mathbf{x} - \mathbf{x}'|} dV' + \frac{1}{4\pi} \int_S \left(\frac{1}{|\mathbf{x} - \mathbf{x}'|} \frac{\partial \mathbf{A}_t \left(t - \frac{|\mathbf{x} - \mathbf{x}'|}{c}, \mathbf{x}' \right)}{\partial n} \right) dS' - \nabla G$$

Elimination of gauge term



2. 2 時間領域境界積分方程式

Magnetic Field Integral Equation (MFIE)

$$\mathbf{B}(\mathbf{x}, t) = \mathbf{B}_{ext}(\mathbf{x}, t) - \frac{1}{4\pi} \int_S \left[\frac{\mathbf{x} - \mathbf{x}'}{|\mathbf{x} - \mathbf{x}'|^3} + \frac{\mathbf{x} - \mathbf{x}'}{|\mathbf{x} - \mathbf{x}'|^2} \frac{\partial}{c\partial t} \right] \times \mathbf{B}_t(\mathbf{x}', t - \frac{|\mathbf{x} - \mathbf{x}'|}{c}) dS'$$

Electric Field Integral Equation (EFIE)

$$\begin{aligned} \mathbf{E}(\mathbf{x}, t) = & \mathbf{E}_{ext}(\mathbf{x}, t) - \frac{1}{4\pi} \int_S \frac{1}{|\mathbf{x} - \mathbf{x}'|} \mathbf{B}_t(\mathbf{x}', t - \frac{|\mathbf{x} - \mathbf{x}'|}{c}) dS' \\ & - \frac{1}{4\pi} \int_S \left[\frac{\mathbf{x} - \mathbf{x}'}{|\mathbf{x} - \mathbf{x}'|^3} + \frac{\mathbf{x} - \mathbf{x}'}{|\mathbf{x} - \mathbf{x}'|^2} \frac{\partial}{c\partial t} \right] E_n(\mathbf{x}', t - \frac{|\mathbf{x} - \mathbf{x}'|}{c}) dS' \end{aligned}$$

$$\left. \begin{array}{l} \mathbf{E} \cdot \mathbf{n} = E_n = -\frac{\partial \phi}{\partial n} = -\frac{\sigma}{\epsilon} \\ \mathbf{B} \times \mathbf{n} = \mathbf{B}_t = \frac{\partial \mathbf{A}_t}{\partial n} = -\mu \mathbf{K} \end{array} \right\} \quad \begin{array}{l} \text{Conservation law} \\ \frac{\partial \sigma}{\partial t} + \operatorname{div} \mathbf{K} = 0 \end{array}$$

3. 時間領域境界要素法による航跡場解析

3. 1 粒子加速器と航跡場解析

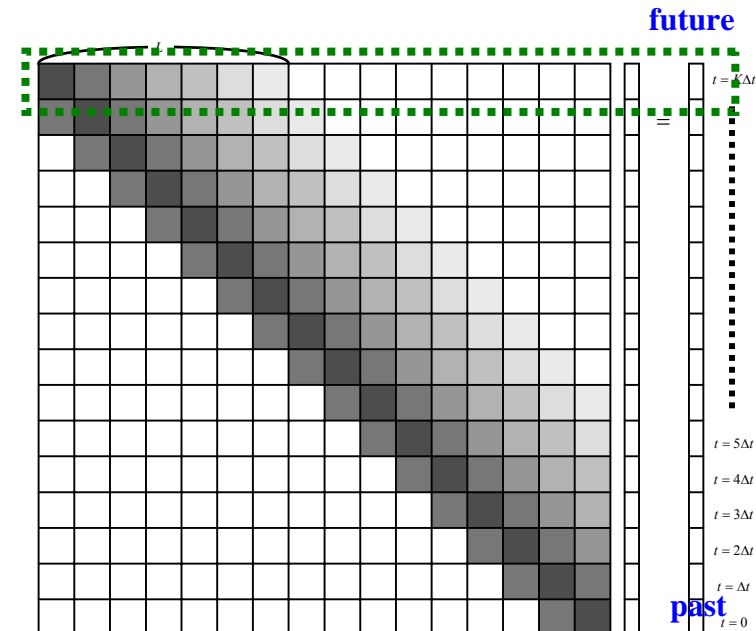
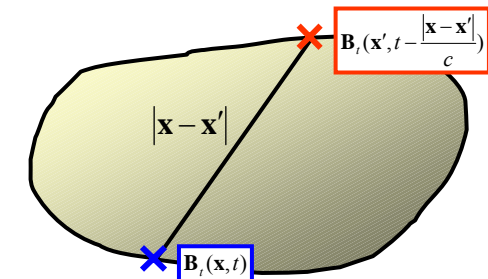
Time Domain MFIE

$$\mathbf{B}(\mathbf{x}, t) = \mathbf{B}_{ext}(\mathbf{x}, t) - \frac{1}{4\pi} \int_S \left[\frac{\mathbf{x} - \mathbf{x}'}{|\mathbf{x} - \mathbf{x}'|^3} + \frac{\mathbf{x} - \mathbf{x}'}{|\mathbf{x} - \mathbf{x}'|^2} \frac{\partial}{c \partial t} \right] \times \mathbf{B}_t(\mathbf{x}', t - \frac{|\mathbf{x} - \mathbf{x}'|}{c}) dS'$$

$$G_0 B_t + \sum_{k=1}^L G_k B_{t-k\Delta t} = B_{ext}$$

Matrix equation of TDBEM

$$B(t) + B(t - \Delta t) + B(t - 2\Delta t) + \dots + B(t - L\Delta t) = B_{ext}(t)$$



3. 時間領域境界要素法による航跡場解析

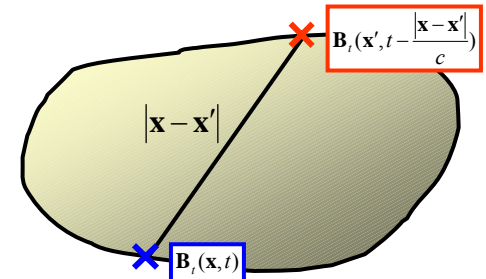
3. 1 粒子加速器と航跡場解析

Time Domain MFIE

$$\mathbf{B}(\mathbf{x}, t) = \mathbf{B}_{ext}(\mathbf{x}, t) - \frac{1}{4\pi} \int_S \left[\frac{\mathbf{x} - \mathbf{x}'}{|\mathbf{x} - \mathbf{x}'|^3} + \frac{\mathbf{x} - \mathbf{x}'}{|\mathbf{x} - \mathbf{x}'|^2} \frac{\partial}{c \partial t} \right] \times \mathbf{B}_t(\mathbf{x}', t - \frac{|\mathbf{x} - \mathbf{x}'|}{c}) dS'$$

$$G_0 B_t + \sum_{k=1}^L G_k B_{t-k\Delta t} = B_{ext}$$

Matrix equation of TDBEM



3D $2N = 2(N_l + N_m)$

$$\mathbf{m} \cdot \mathbf{B} = \mathbf{m} \cdot \mathbf{B}_{ext} - \frac{1}{4\pi} \int_{S'} dS' \{ [-(\mathbf{m}' \cdot \mathbf{R})(\mathbf{m} \cdot \mathbf{n}') + (\mathbf{n}' \cdot \mathbf{R})(\mathbf{m} \cdot \mathbf{m}')] B_m \\ + [-(\mathbf{l}' \cdot \mathbf{R})(\mathbf{m} \cdot \mathbf{n}') + (\mathbf{n}' \cdot \mathbf{R})(\mathbf{m} \cdot \mathbf{l}')] B_l \}$$

$$\mathbf{l} \cdot \mathbf{B} = \mathbf{l} \cdot \mathbf{B}_{ext} - \frac{1}{4\pi} \int_{S'} dS' \{ [-(\mathbf{m}' \cdot \mathbf{R})(\mathbf{l} \cdot \mathbf{n}') + (\mathbf{n}' \cdot \mathbf{R})(\mathbf{l} \cdot \mathbf{m}')] B_m \\ + [-(\mathbf{l}' \cdot \mathbf{R})(\mathbf{l} \cdot \mathbf{n}') + (\mathbf{n}' \cdot \mathbf{R})(\mathbf{l} \cdot \mathbf{l}')] B_l \}$$

2D軸対称 N_l

$$\mathbf{m} \cdot \mathbf{B} = \mathbf{m} \cdot \mathbf{B}_{ext} - \frac{1}{4\pi} \int_{S'} dS' [-(\mathbf{m}' \cdot \mathbf{R})(\mathbf{m} \cdot \mathbf{n}') + (\mathbf{n}' \cdot \mathbf{R})(\mathbf{m} \cdot \mathbf{m}')] B_m$$

数値不安定性

計算コスト(メモリ, 計算時間)

$2N$

$= 200, L = 200$

$)^2 \times 200$

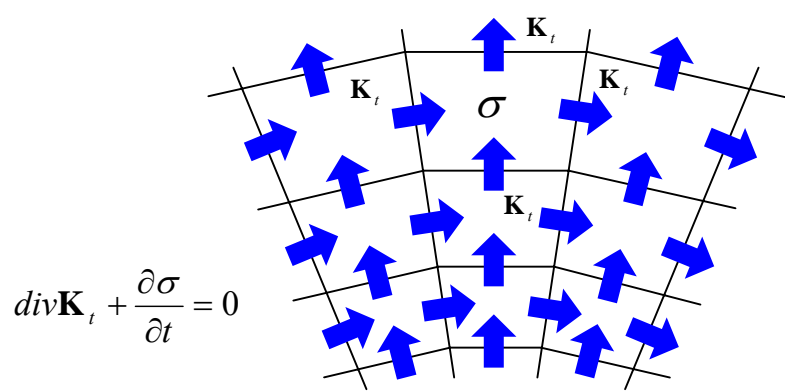
$= 64 M\text{ Byte}$

$\times 200^2 \times 200$

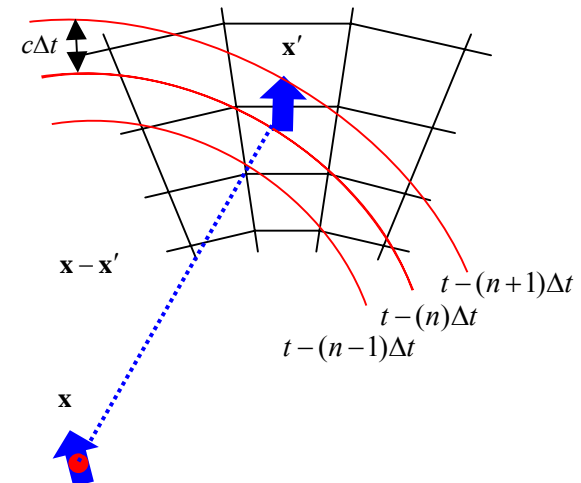
4. 数値解析コード

4.1 数値不安定性

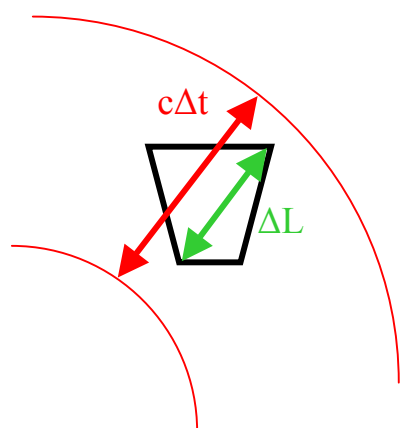
未知変数の配置



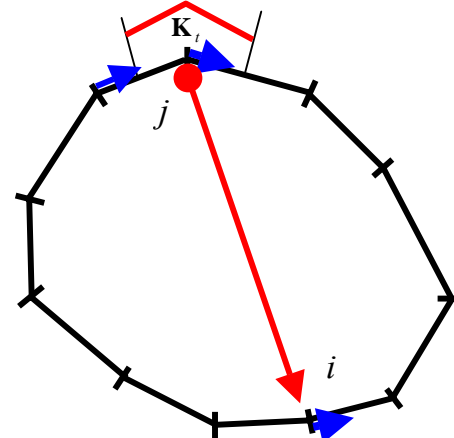
因果律の評価



陰的スキーム

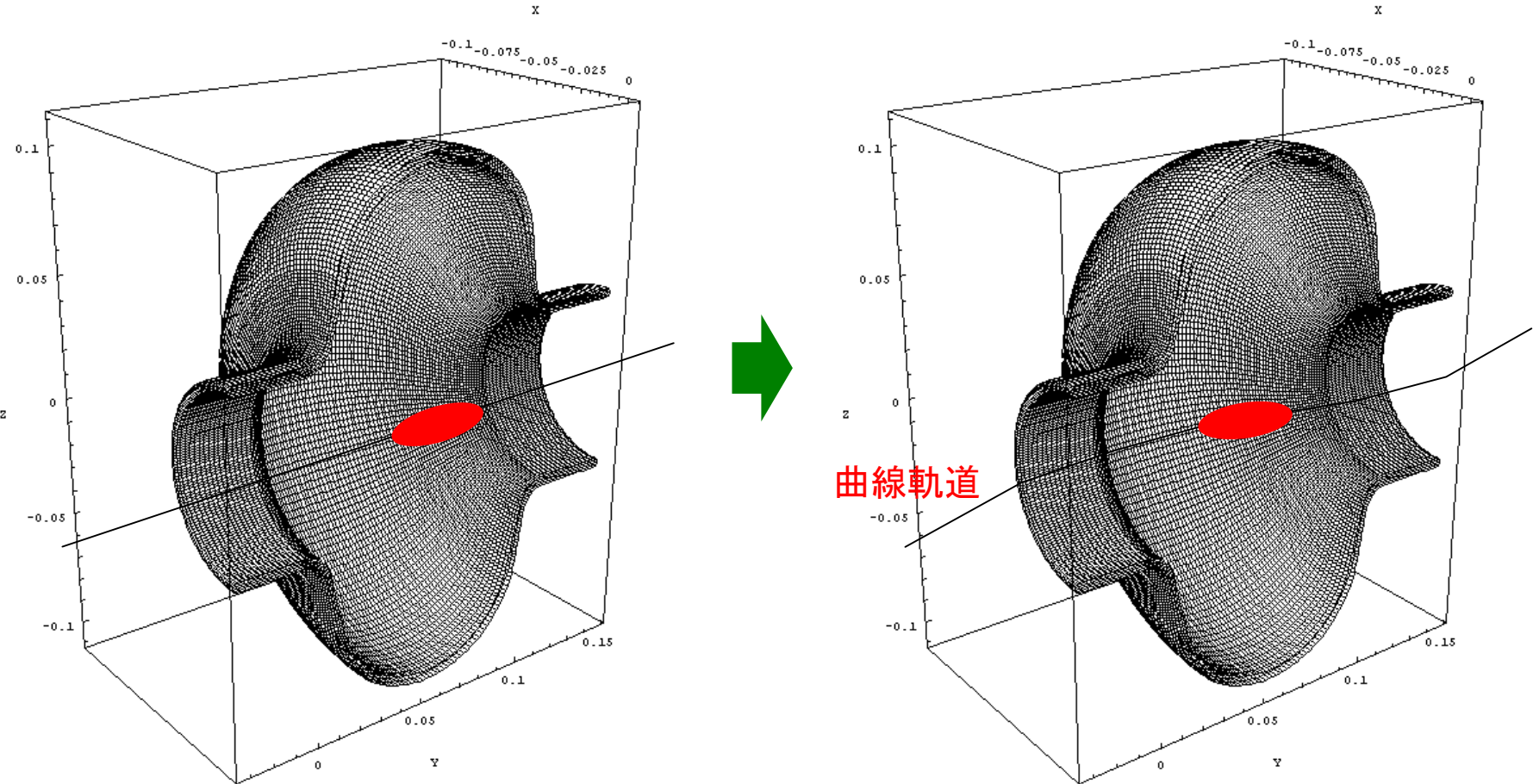


2メッシュ補間積分



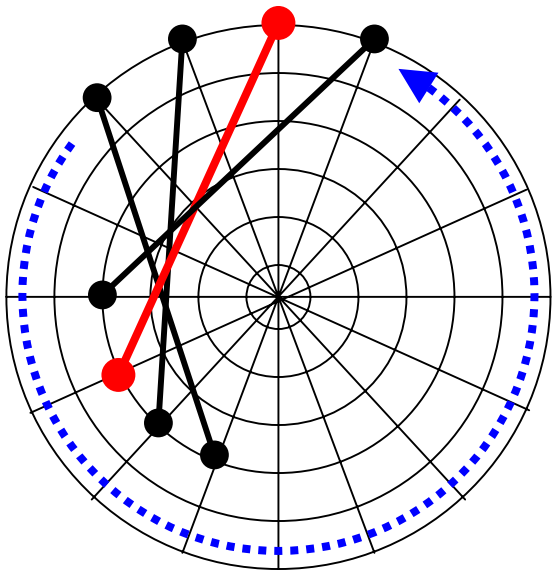
4. 2 計算コスト

メモリ削減 数値モデルの軸対称性



4. 2 計算コスト

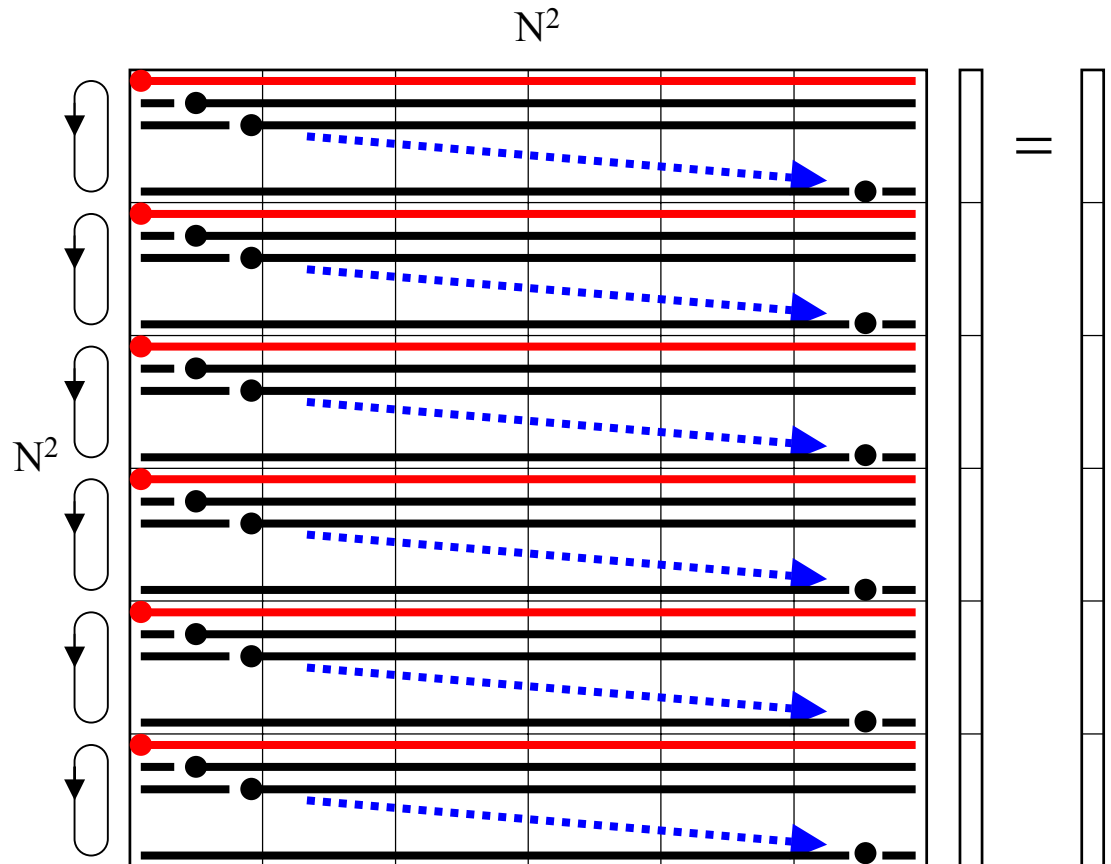
メモリ削減 数値モデルの軸対称性



$$\mathbf{B}(\mathbf{x}, t) = \mathbf{B}_{LW}(\mathbf{x}, t)$$

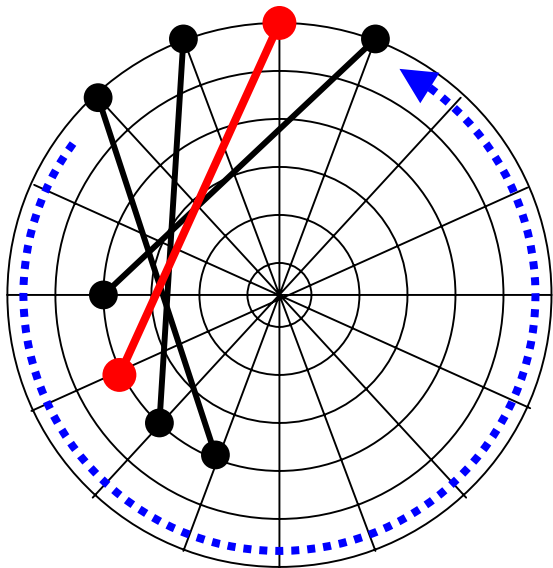
$$-\frac{1}{4\pi} \int_{S'} \left\{ [-(\mathbf{m}' \cdot \mathbf{R})\mathbf{n}' + (\mathbf{n}' \cdot \mathbf{R})\mathbf{m}'] B_m(\mathbf{x}', t') + [-(\mathbf{l}' \cdot \mathbf{R})\mathbf{n}' + (\mathbf{n}' \cdot \mathbf{R})\mathbf{l}'] B_l(\mathbf{x}', t') \right\} dS'$$

$$\mathbf{R} = \frac{(\mathbf{x} - \mathbf{x}')}{|\mathbf{x} - \mathbf{x}'|^3} + \frac{(\mathbf{x} - \mathbf{x}')}{|\mathbf{x} - \mathbf{x}'|^2} \frac{\partial}{c \partial t}$$



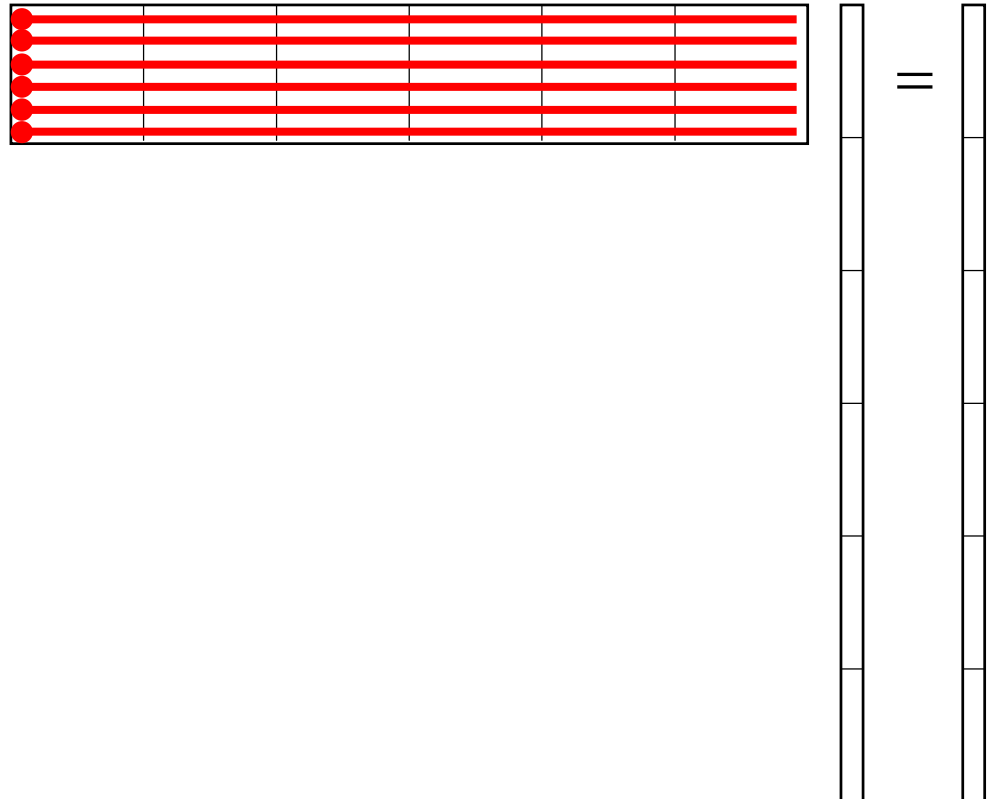
4. 2 計算コスト

メモリ削減 数値モデルの軸対称性



N

N^2



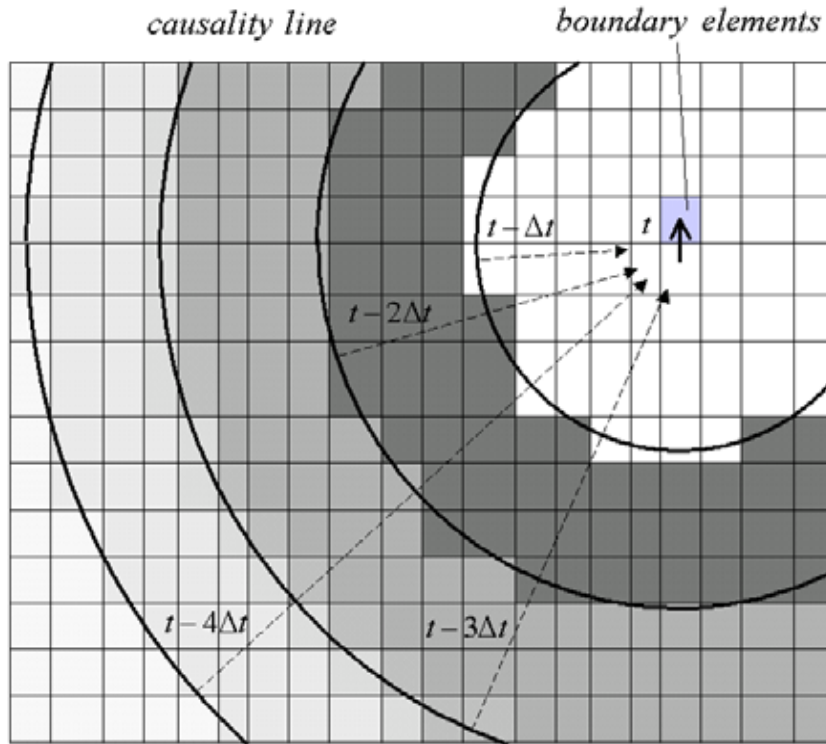
$$\mathbf{B}(\mathbf{x}, t) = \mathbf{B}_{LW}(\mathbf{x}, t)$$

$$-\frac{1}{4\pi} \int_{S'} \left\{ [-(\mathbf{m}' \cdot \mathbf{R})\mathbf{n}' + (\mathbf{n}' \cdot \mathbf{R})\mathbf{m}'] B_m(\mathbf{x}', t') + [-(\mathbf{l}' \cdot \mathbf{R})\mathbf{n}' + (\mathbf{n}' \cdot \mathbf{R})\mathbf{l}'] B_l(\mathbf{x}', t') \right\} dS'$$

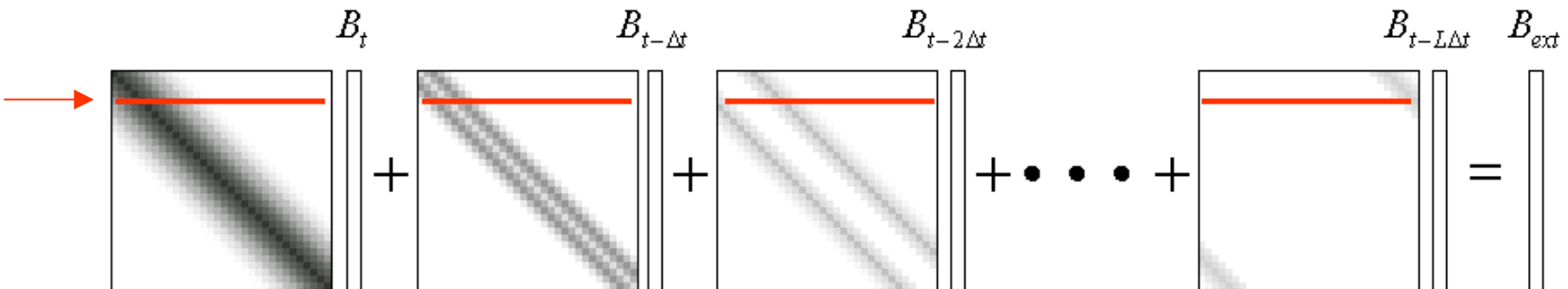
$$\mathbf{R} = \frac{(\mathbf{x} - \mathbf{x}')}{|\mathbf{x} - \mathbf{x}'|^3} + \frac{(\mathbf{x} - \mathbf{x}')}{|\mathbf{x} - \mathbf{x}'|^2} \frac{\partial}{c \partial t}$$

4. 2 計算コスト

メモリ削減 行列のスパース性

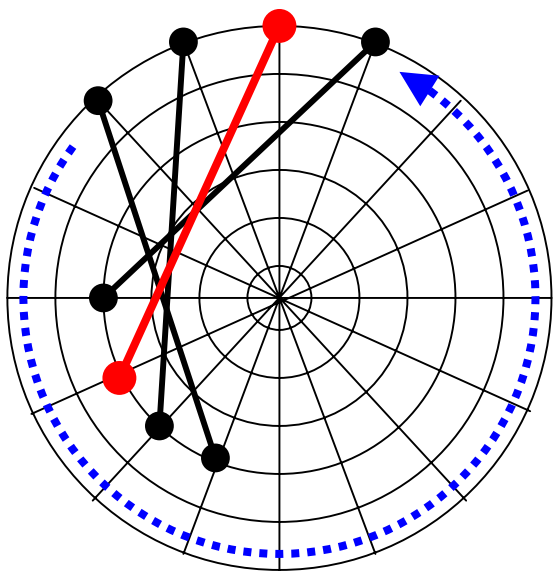


$$\mathbf{B}(\mathbf{x}, t) = \mathbf{B}_{ext}(\mathbf{x}, t) - \frac{1}{4\pi} \int_S \left[\frac{\mathbf{x} - \mathbf{x}'}{|\mathbf{x} - \mathbf{x}'|^3} + \frac{\mathbf{x} - \mathbf{x}'}{|\mathbf{x} - \mathbf{x}'|^2} \frac{\partial}{c\partial t} \right] \times \mathbf{B}_t(\mathbf{x}', t - \frac{|\mathbf{x} - \mathbf{x}'|}{c}) dS'$$

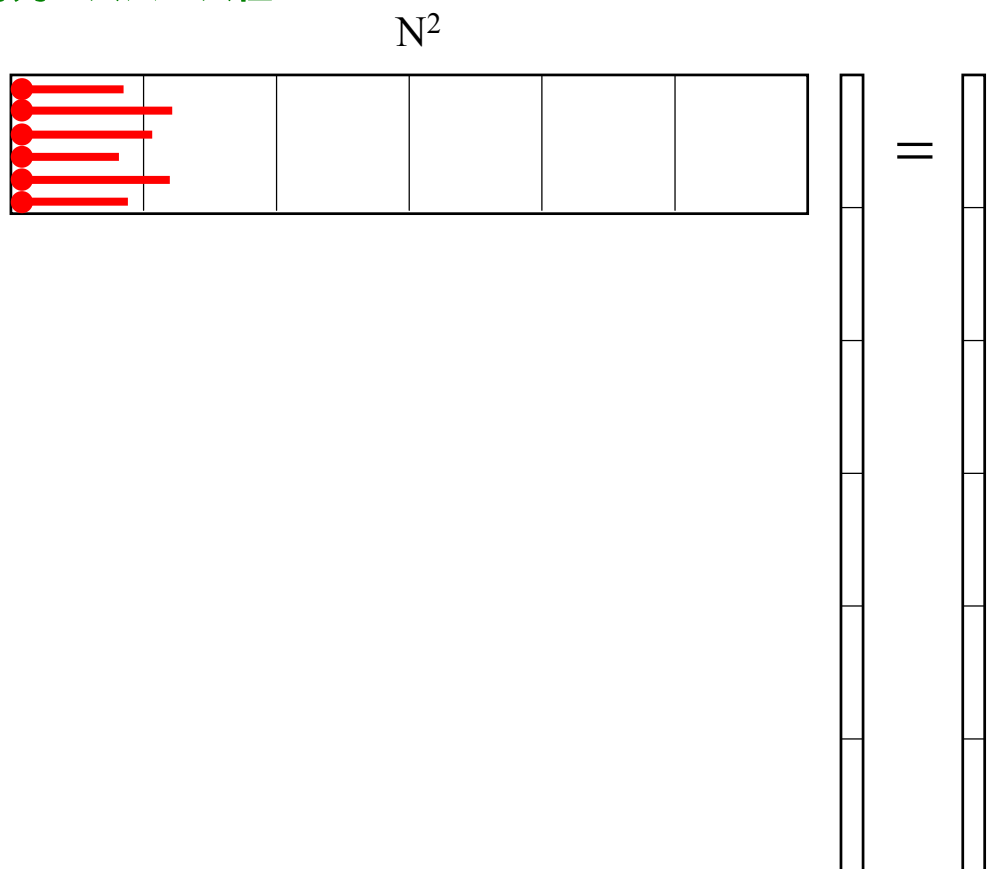


4. 2 計算コスト

メモリ削減 数値モデルの軸対称性 + 行列のスパース性



N



$$\mathbf{B}(\mathbf{x}, t) = \mathbf{B}_{LW}(\mathbf{x}, t)$$

$$-\frac{1}{4\pi} \int_{S'} \{ [-(\mathbf{m}' \cdot \mathbf{R})\mathbf{n}' + (\mathbf{n}' \cdot \mathbf{R})\mathbf{m}'] B_m(\mathbf{x}', t') \\ + [-(\mathbf{l}' \cdot \mathbf{R})\mathbf{n}' + (\mathbf{n}' \cdot \mathbf{R})\mathbf{l}'] B_l(\mathbf{x}', t') \} dS'$$

$$\mathbf{R} = \frac{(\mathbf{x} - \mathbf{x}')}{|\mathbf{x} - \mathbf{x}'|^3} + \frac{(\mathbf{x} - \mathbf{x}')}{|\mathbf{x} - \mathbf{x}'|^2} \frac{\partial}{c \partial t}$$

10 T Byte

3D

51.2 G Byte

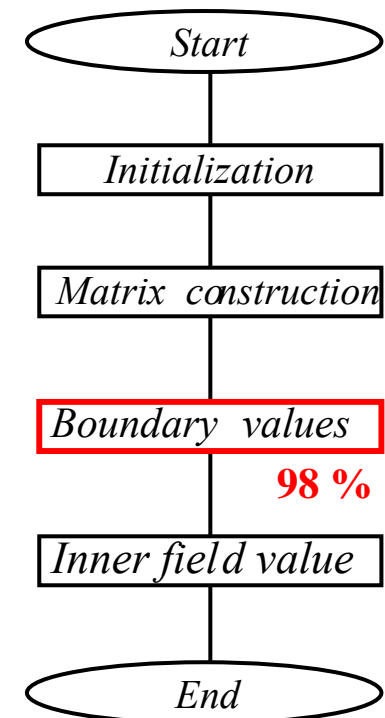
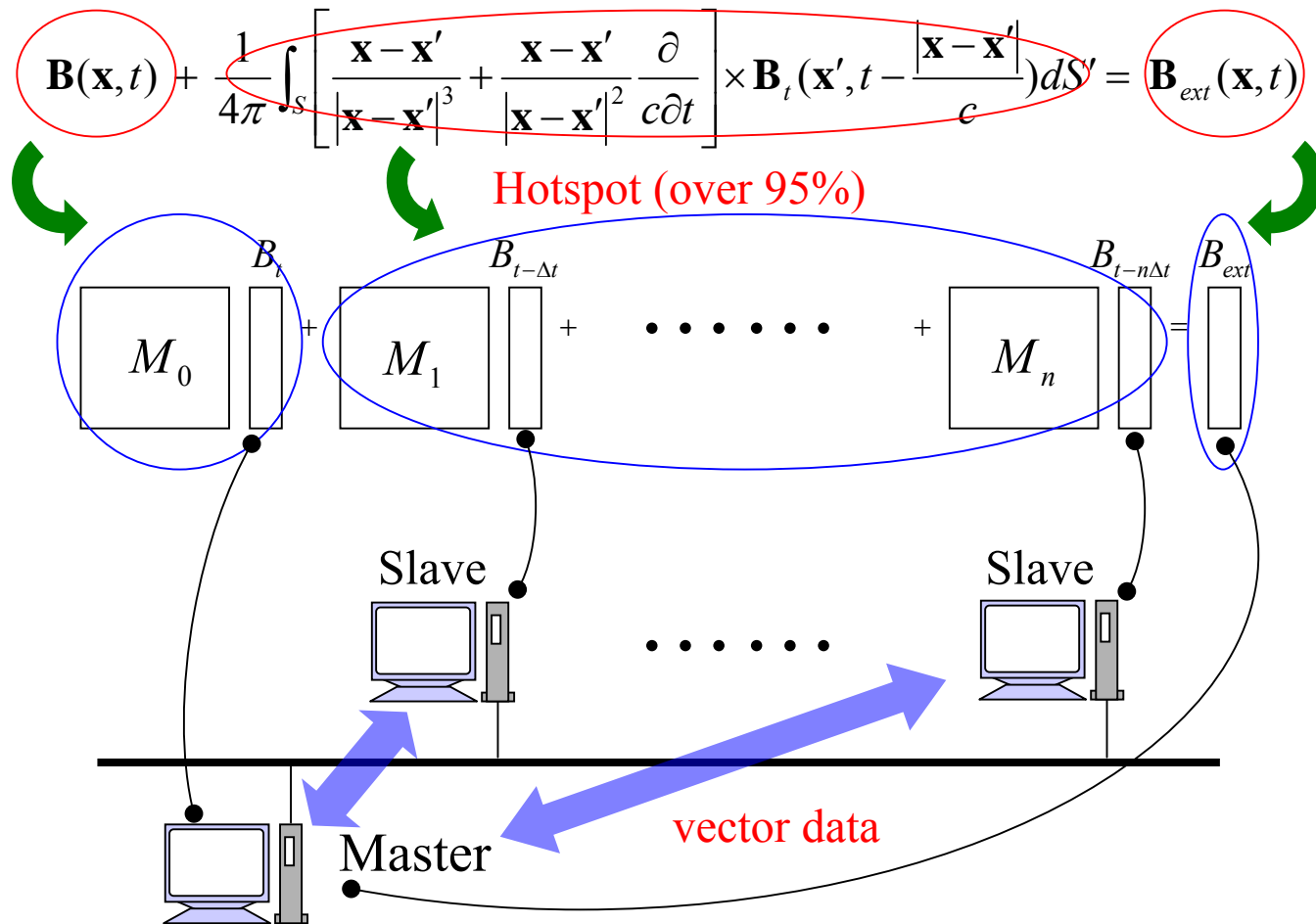
2.5D

64 M Byte

軸対称2D

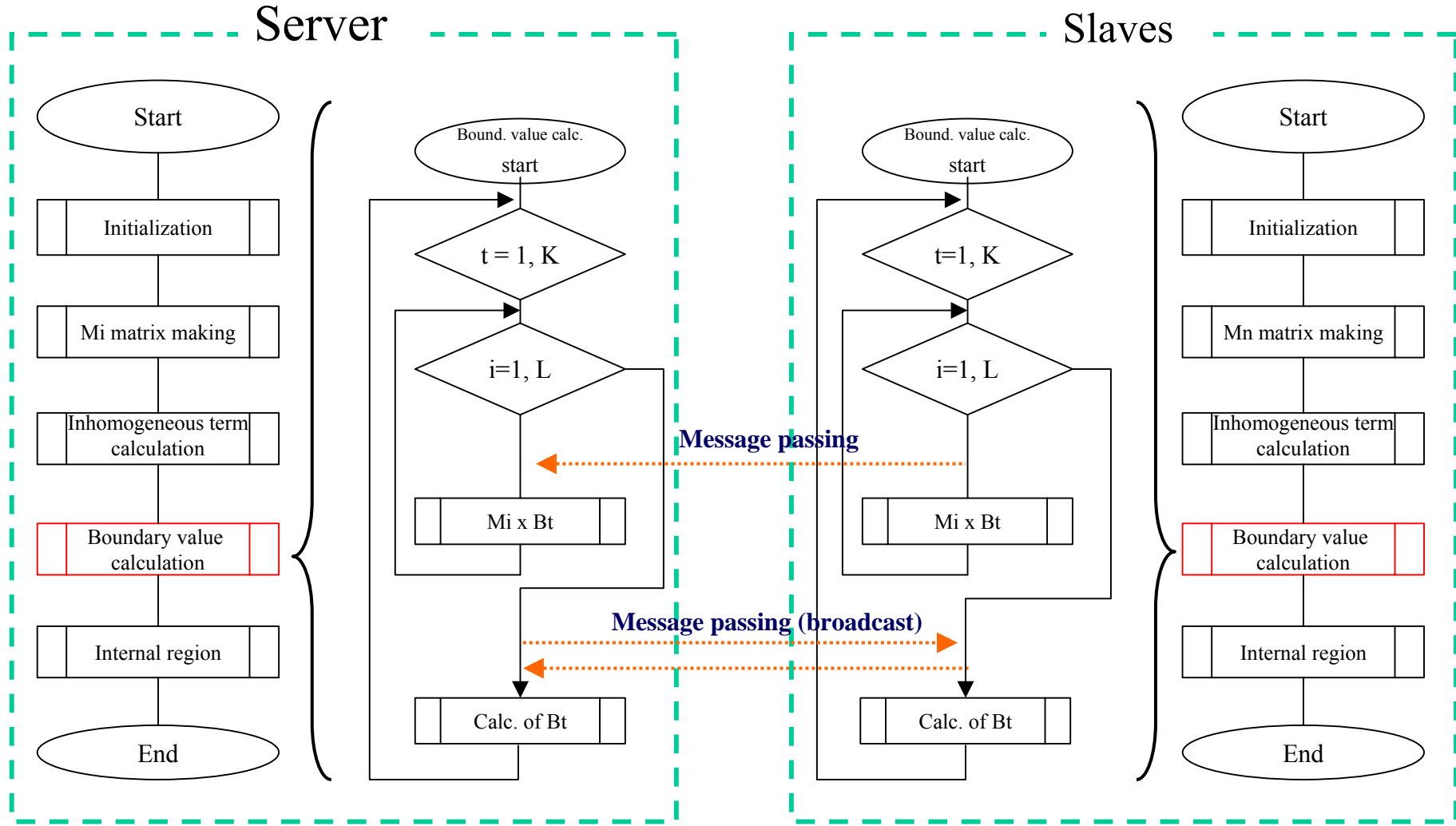
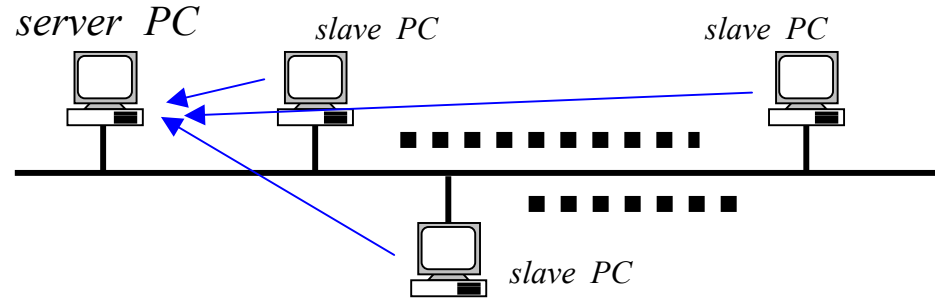
4. 2 計算コスト

計算時間 並列計算化



4. 2 計算コスト

計算時間 並列計算化

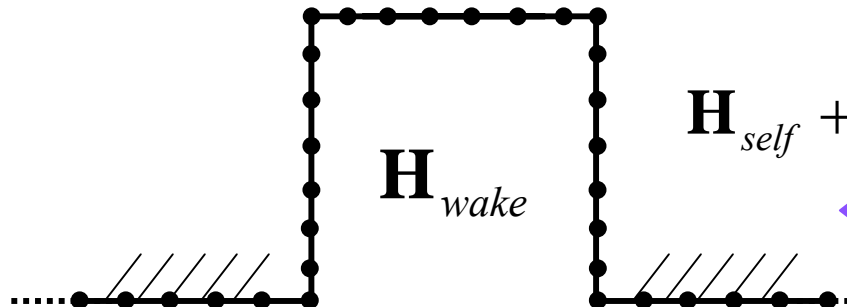


4. 3 散乱場表示定式化

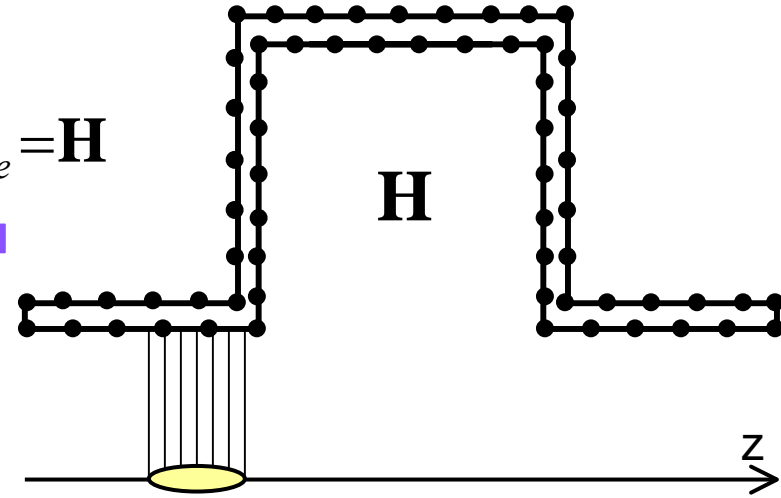
その他のTDBEMの問題

パンチ入射（体積積分 + 特異性，非物理的擾乱），無駄なメッシュ，内部共振解 + コホモロジー解

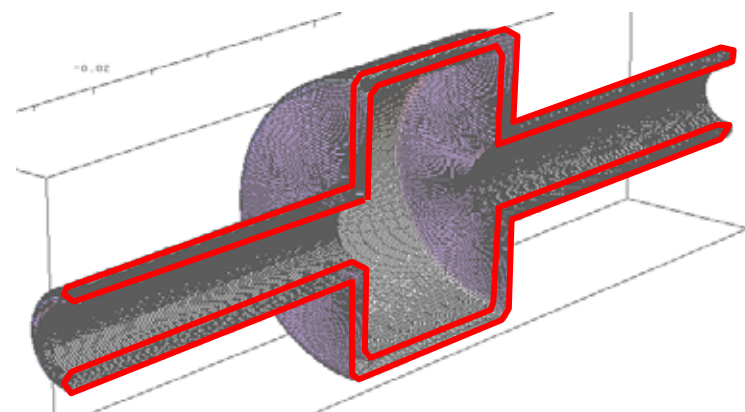
Scattered field TDBEM(S-TDBEM)



Conventional TDBEM

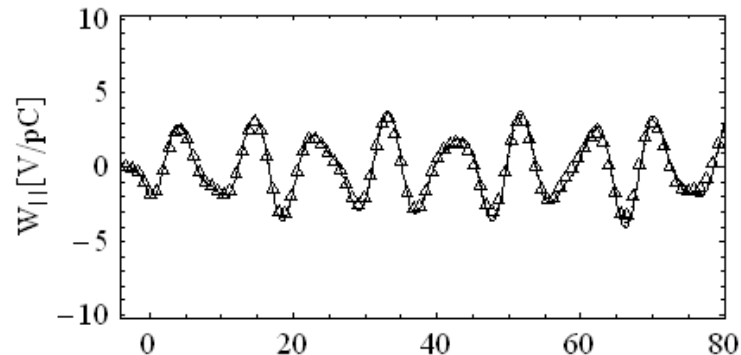
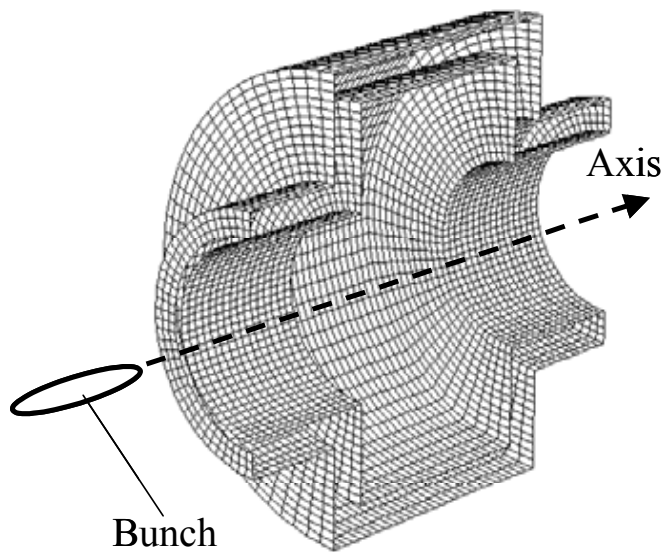


- スムースなパンチ入射
- メッシュ数削減
- 内部共振解の除去(安定化)
- 陽的スキームが可能
- 計算時間増

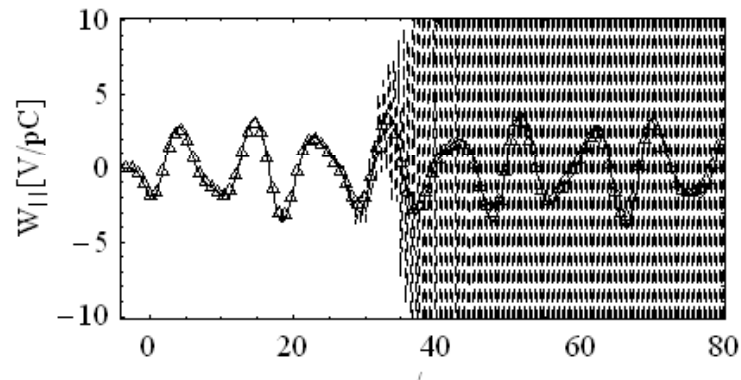


4. 3 散乱場表示定式化

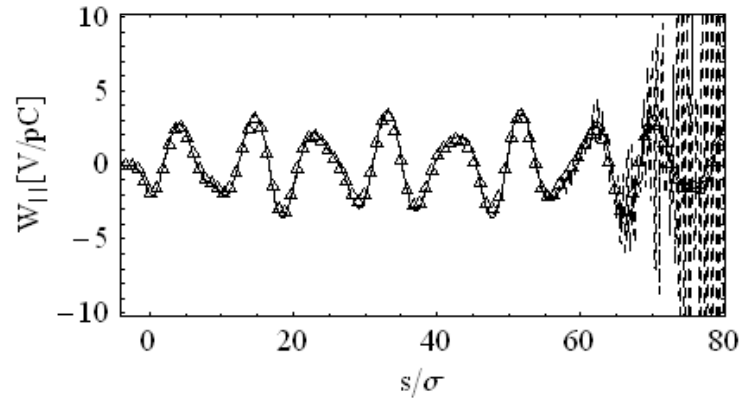
内部共振による不安定性(?)



(a) $d=2 \text{ mm}$ ($c\Delta t = 1.08h$)

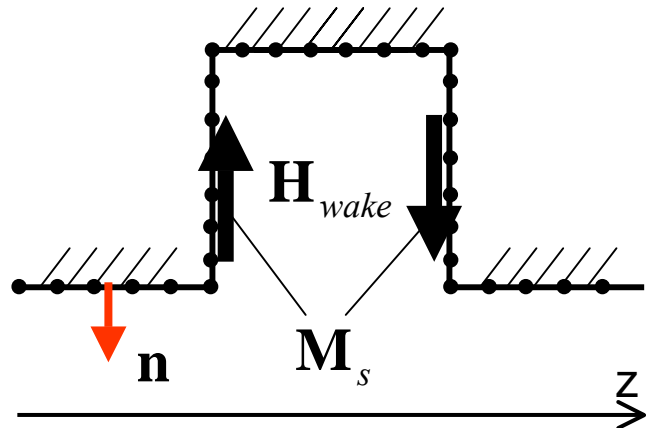


(b) $d=2 \text{ mm}$ ($c\Delta t = 0.38h$)



(c) $d=4 \text{ mm}$ ($c\Delta t = 0.38 h$)

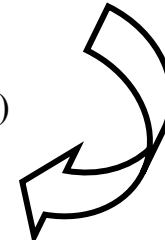
4. 3 散乱場表示定式化



Integral representation in axis-symmetric 2D

$$\mathbf{H}_{wake}(\mathbf{r}, t) = -\frac{1}{4\pi} \oint_S \left\{ (\mathbf{n}' \times \mathbf{H}_{wake}(\mathbf{r}', t')) \times \text{grad}' \frac{1}{R} \right. \\ \left. - \frac{1}{R} \left(\mathbf{n}' \times \frac{\partial \mathbf{H}_{wake}}{\partial t}(\mathbf{r}', t') \right) \times \text{grad}' R + \frac{1}{R} \left(\mathbf{n}' \times \epsilon \frac{\partial \mathbf{E}_{wake}}{\partial t}(\mathbf{r}', t') \right) \right\} dS'$$

$$H_{wake}(t) = G_0 | \boxed{H_{wake}(t)} | + G_1 | \boxed{H_{wake}(t - \Delta t)} | + G_2 | \boxed{H_{wake}(t - 2\Delta t)} | + \dots + G_L | \boxed{H_{wake}(t - L\Delta t)} |$$



$$+ M_1 | \boxed{E_{wake}(t - \Delta t)} | + M_2 | \boxed{E_{wake}(t - 2\Delta t)} | + \dots + M_L | \boxed{E_{wake}(t - L\Delta t)} |$$

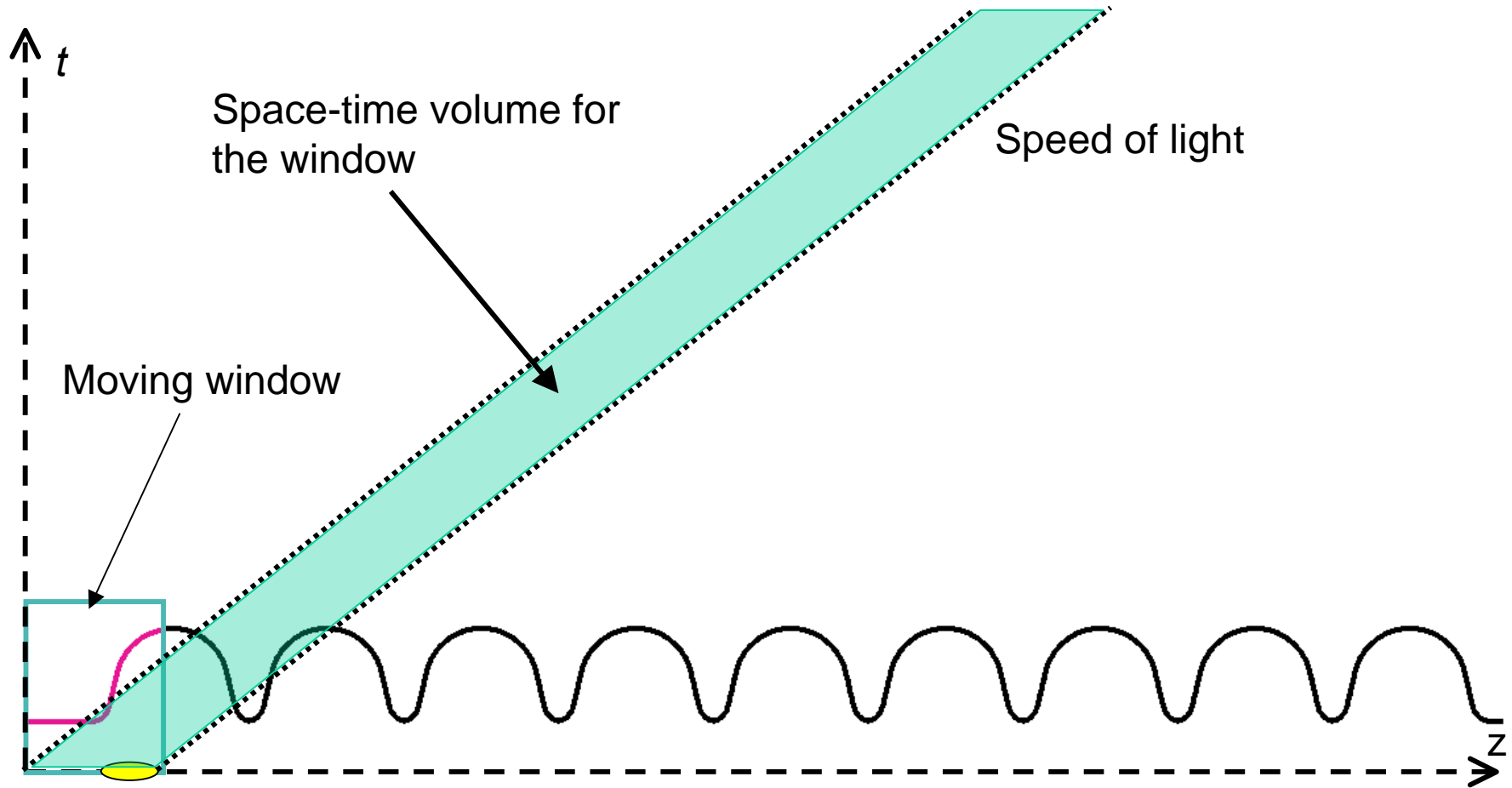
Required memory: same
Calculation time: double

$$H_{wake}(t) = G_0 | \boxed{H_{wake}(t)} | + G_1 | \boxed{H_{wake}(t - \Delta t)} | + G_2 | \boxed{H_{wake}(t - 2\Delta t)} | + \dots + G_L | \boxed{H_{wake}(t - L\Delta t)} | + H_{ext}(t)$$

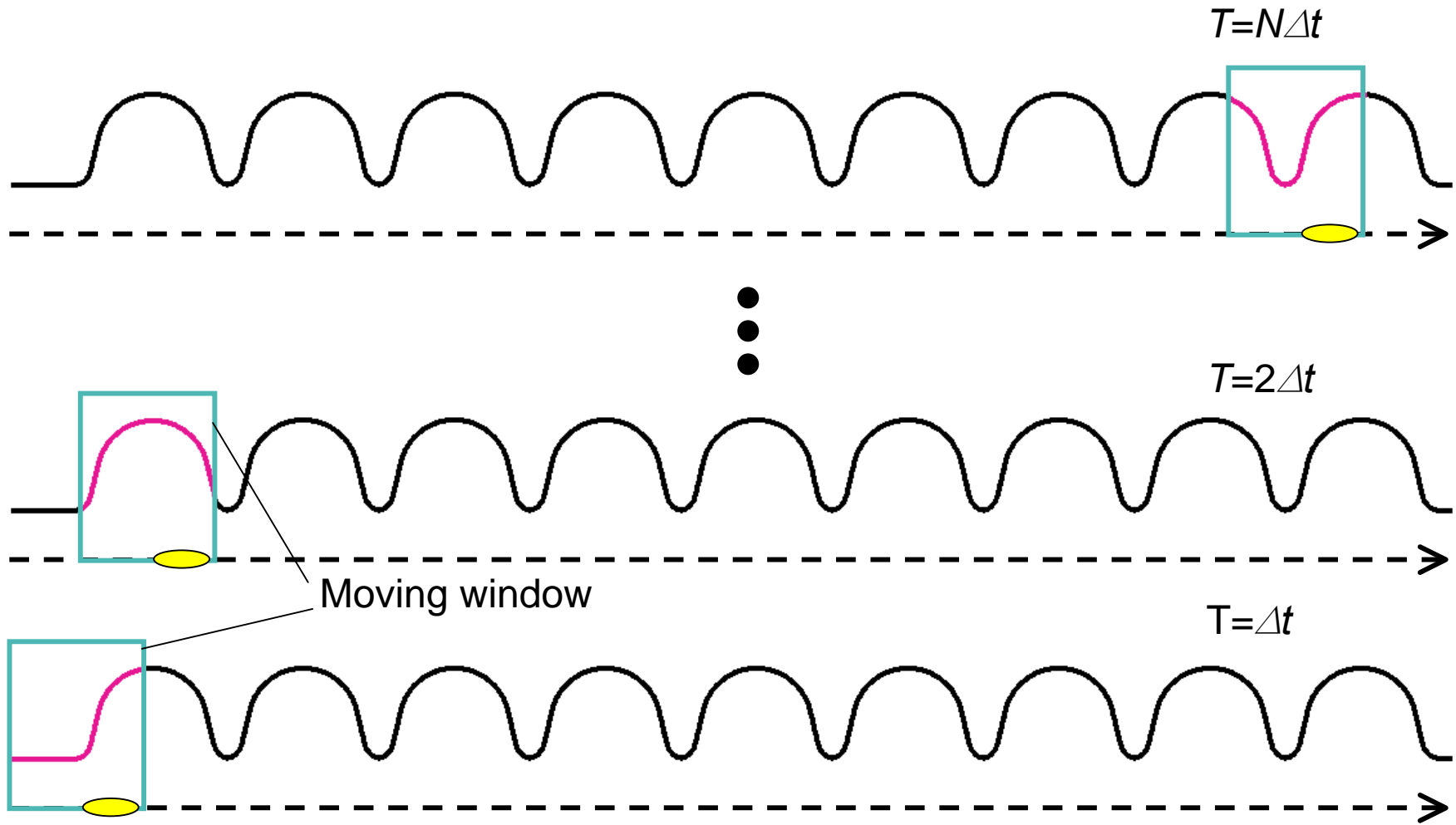
4. 4 ウィンドウオプション

K.Bane and T.Weiland,
“Wake force computation in the time domain for long structures”,
Proc. 12th Int. Conf. High Energy Accelerators, pp.314-316, 1983

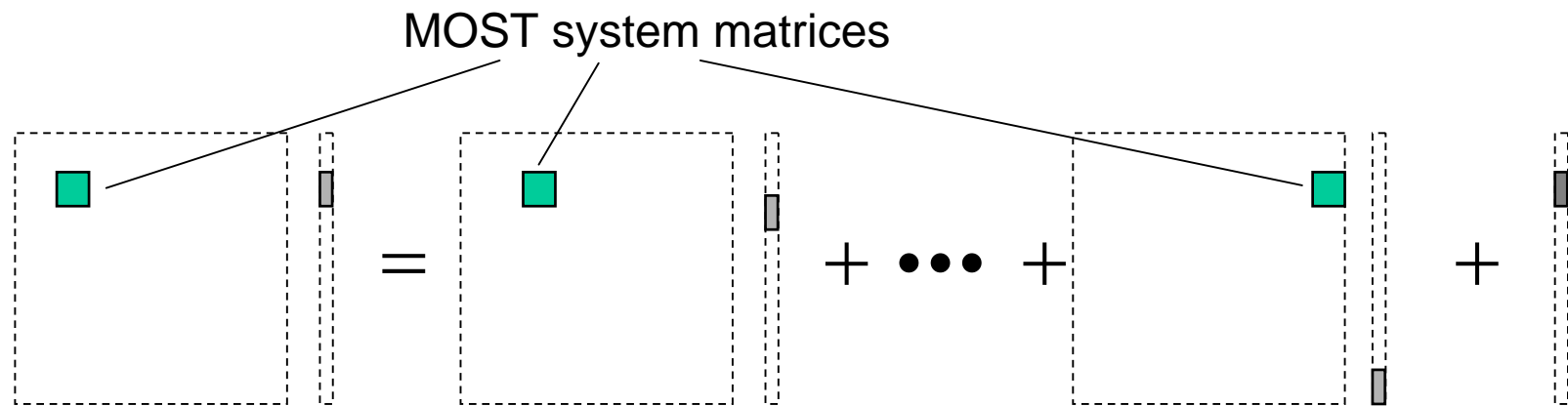
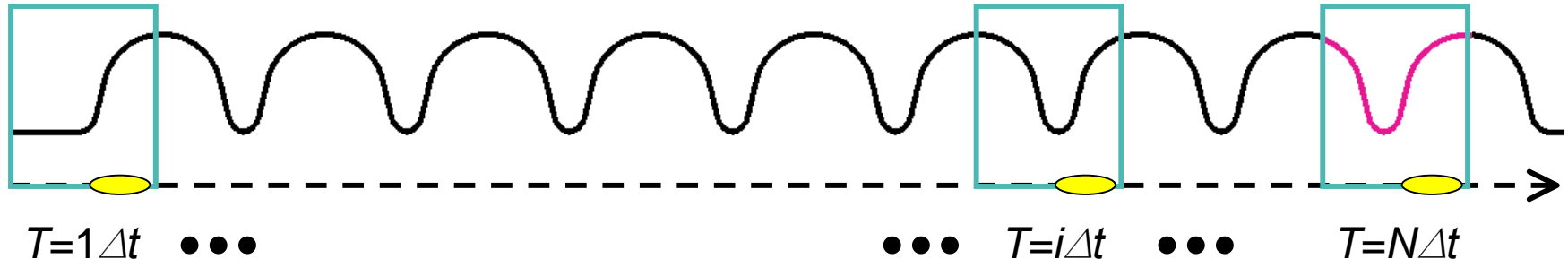
ビームダイナミクスのみに興味がある場合



4. 4 ウィンドウオプション



4. 4 ウィンドウオプション



For $N = 10000$, $L_{\text{matrix}} = 15000$,

4 TB(full matrix) \rightarrow 5 GB(moving window) with $N_{\text{window}} = 200$

4. 4 ウィンドウオプション

システム行列

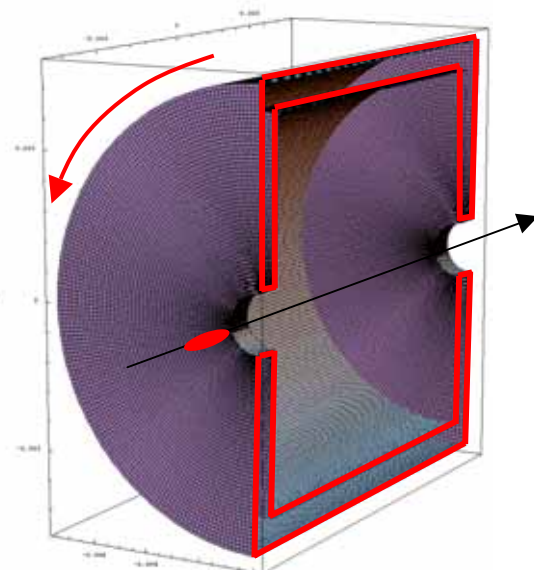
$$\begin{array}{c} \boxed{\text{■}} = \boxed{\text{■}} + \boxed{\text{■}} + \cdots + \boxed{\text{■}} + \boxed{\text{■}} \quad T=N\Delta t \\ \bullet \\ \bullet \\ \bullet \\ \boxed{\text{■}} = \boxed{\text{■}} + \boxed{\text{■}} + \cdots + \boxed{\text{■}} + \boxed{\text{■}} \quad T=3\Delta t \\ \boxed{\text{■}} = \boxed{\text{■}} + \boxed{\text{■}} + \cdots + \boxed{\text{■}} + \boxed{\text{■}} \quad T=2\Delta t \\ \boxed{\text{■}} = \boxed{\text{■}} + \boxed{\text{■}} + \cdots + \boxed{\text{■}} + \boxed{\text{■}} \quad T=1\Delta t \end{array}$$

陽的スキームが必要！

5. 数値解析例

5.1 ピルボックスキャビティ

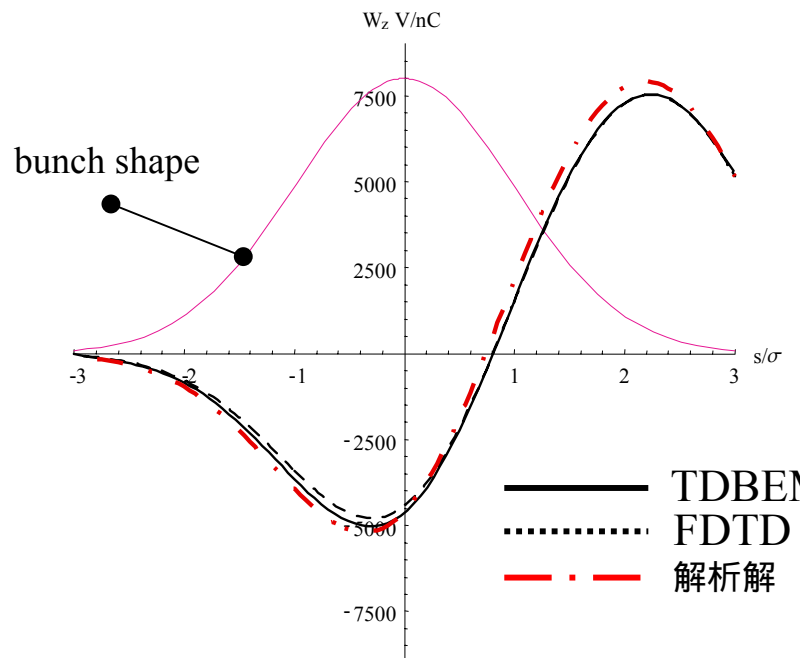
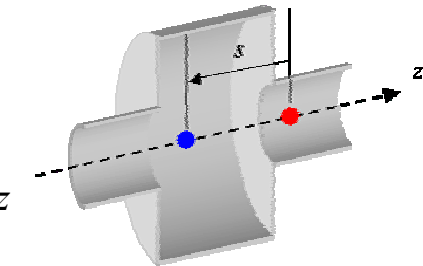
数値モデル



回転方向 400分割
断面方向 660分割
全メッシュ数 240000
所要メモリ 320MB

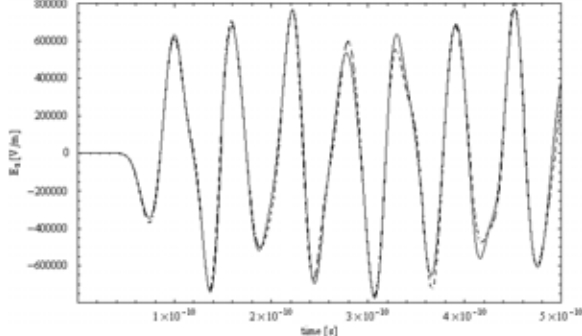
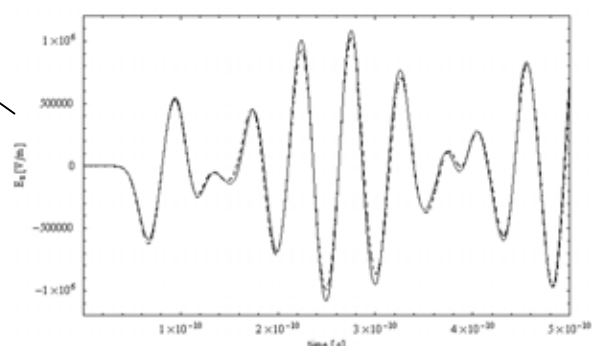
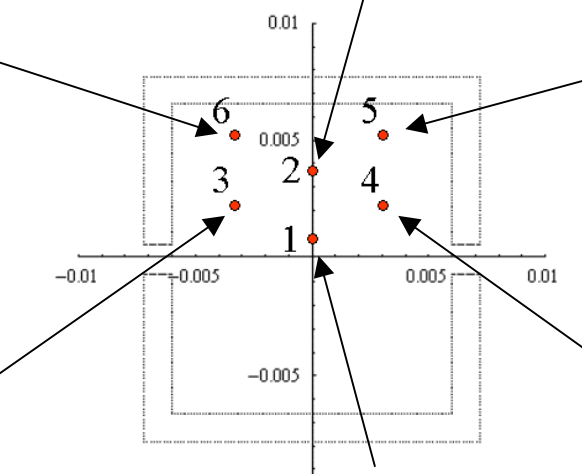
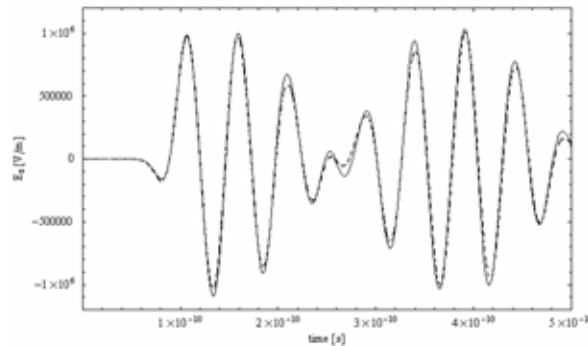
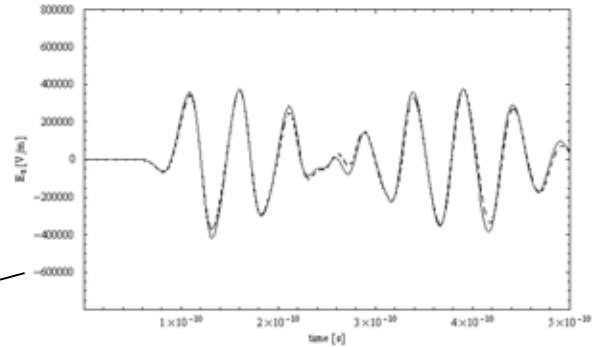
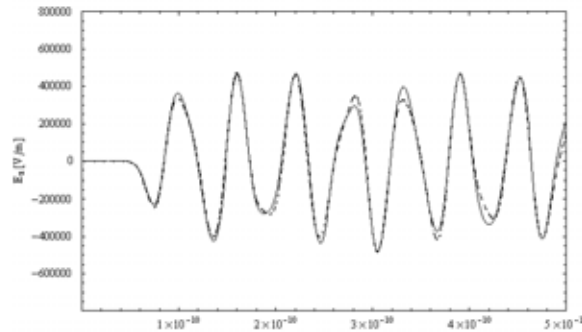
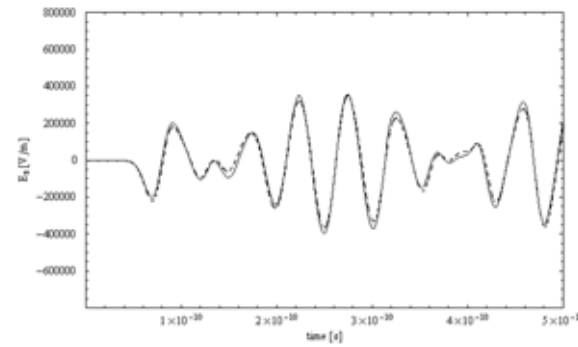
Wake potential ($\sigma=3\text{mm}$)

$$W_z(\mathbf{r}, s) = -\frac{1}{q} \int_{-\infty}^{\infty} E_z(\mathbf{r}, z, t = \frac{z+s}{v}) dz$$



5. 1 ピルボックスキャビティ

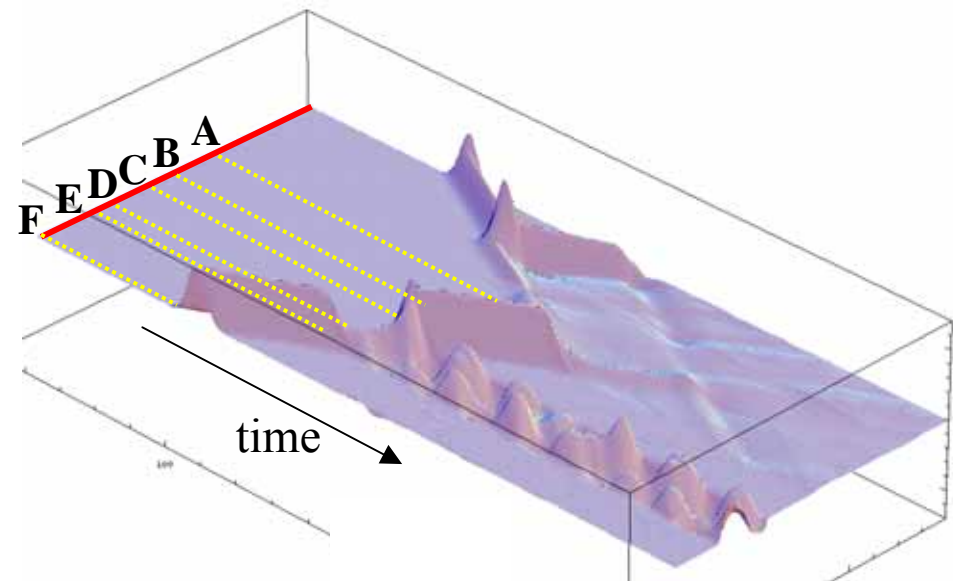
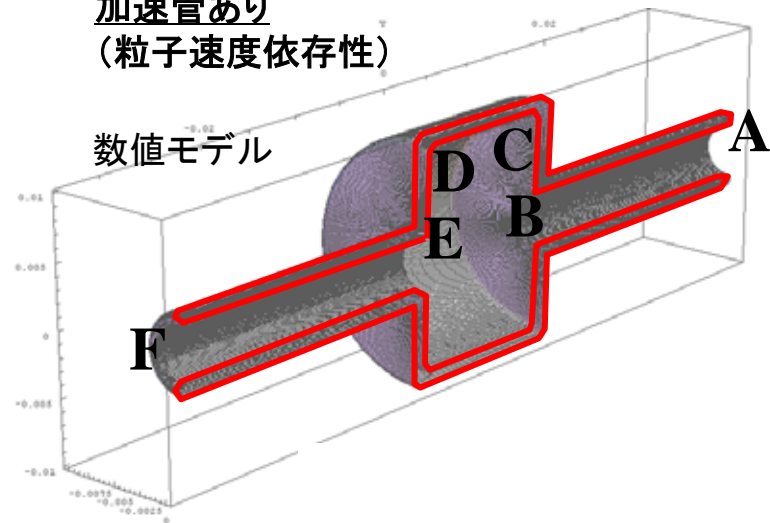
場の値
(FDTD／FITとの比較)



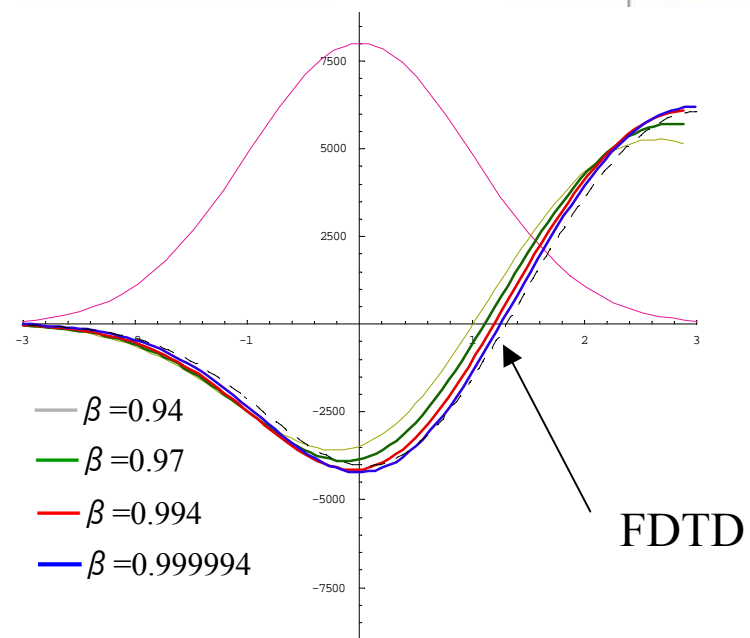
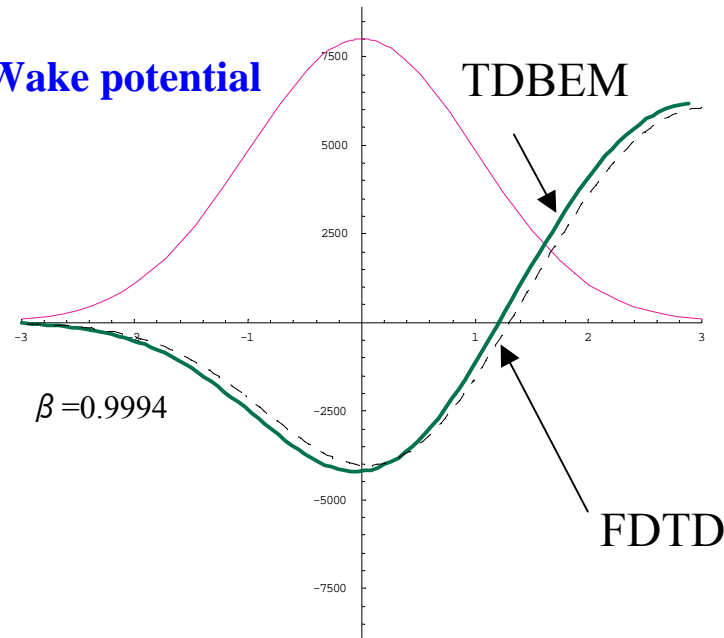
5. 1 ピルボックスキャビティ

加速管あり

(粒子速度依存性)



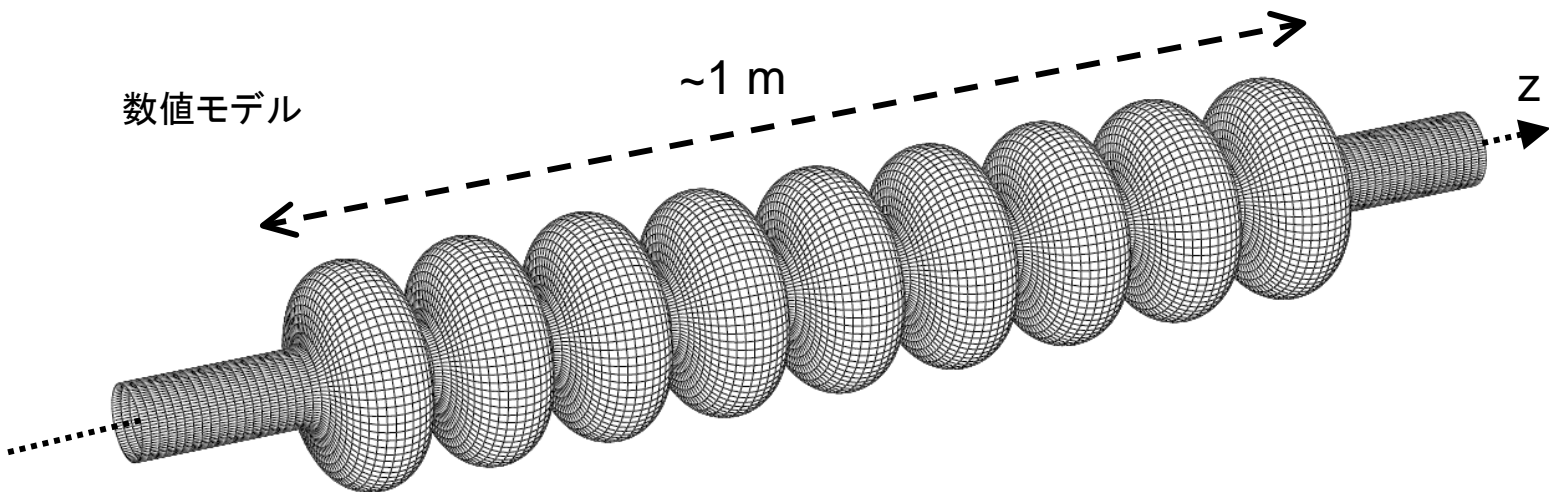
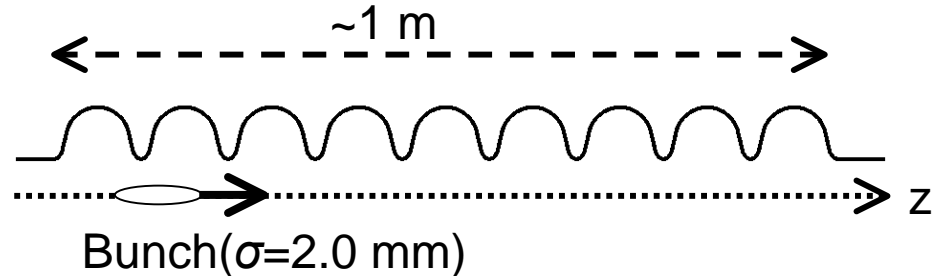
Wake potential



FDTD

5. 2 TESLA 9セルキャビティ

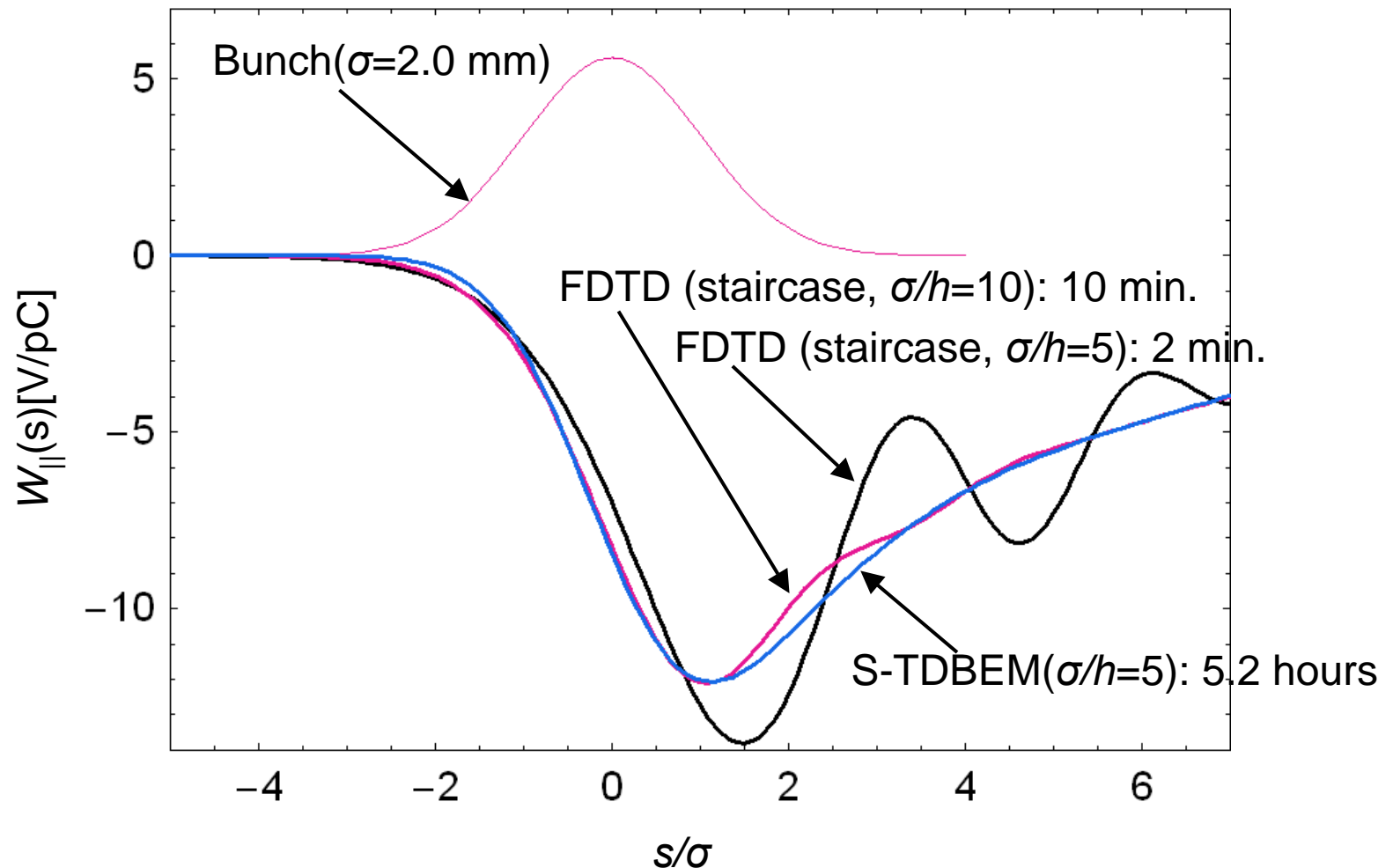
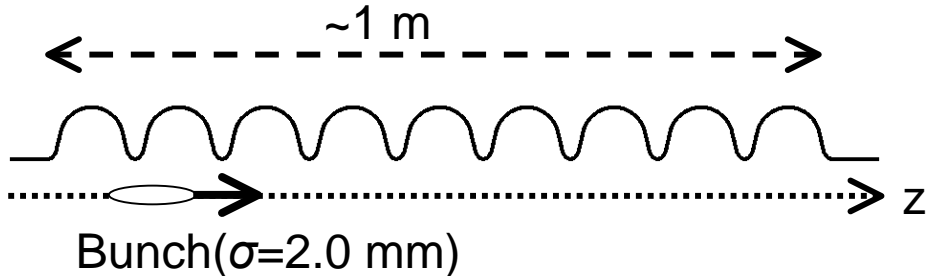
軸対象2次元+ウィンドウオプション



For the number of unknowns $N=5300$, time step $L = 8000$, $N_{\text{window}}=200$,

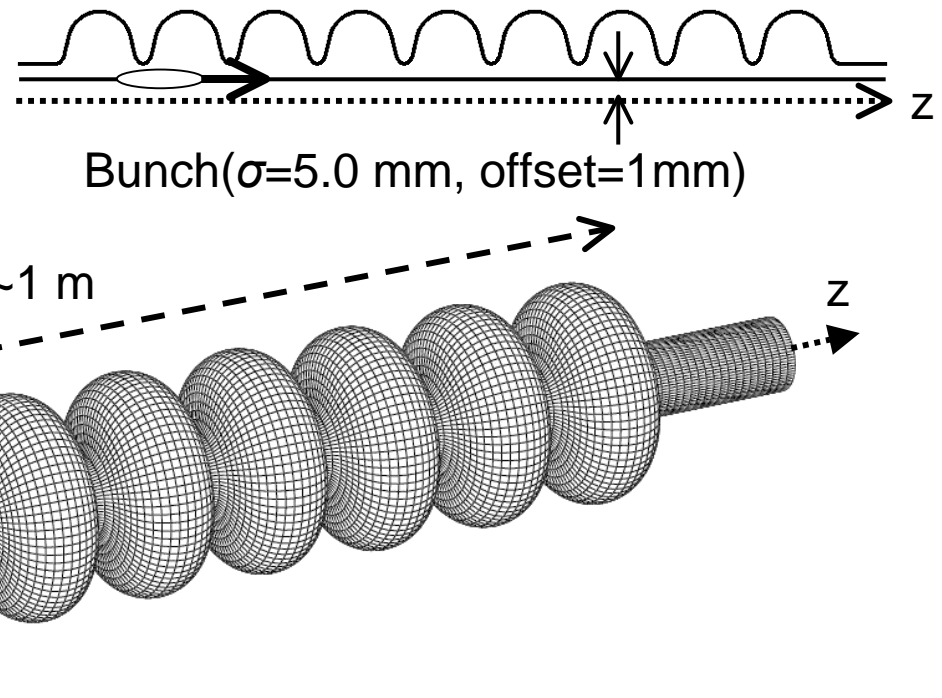
- Full matrix: 1.8 TB
- Moving window (with $N_t=20$) : 2.5 GB, 5.2 hours with HITACHI SR-11000/K1
- Moving window (no matrix): less than 500 MB, about 4 days

5. 2 TESLA 9セルキャビティ



5. 2 TESLA 9セルキャビティ

軸対象2. 5次元+ウィンドウオプション
(ダイポールウェーク)



For the number of unknowns $N=3720$, time step $L = 7600$, $N_{\text{window}}=290$,

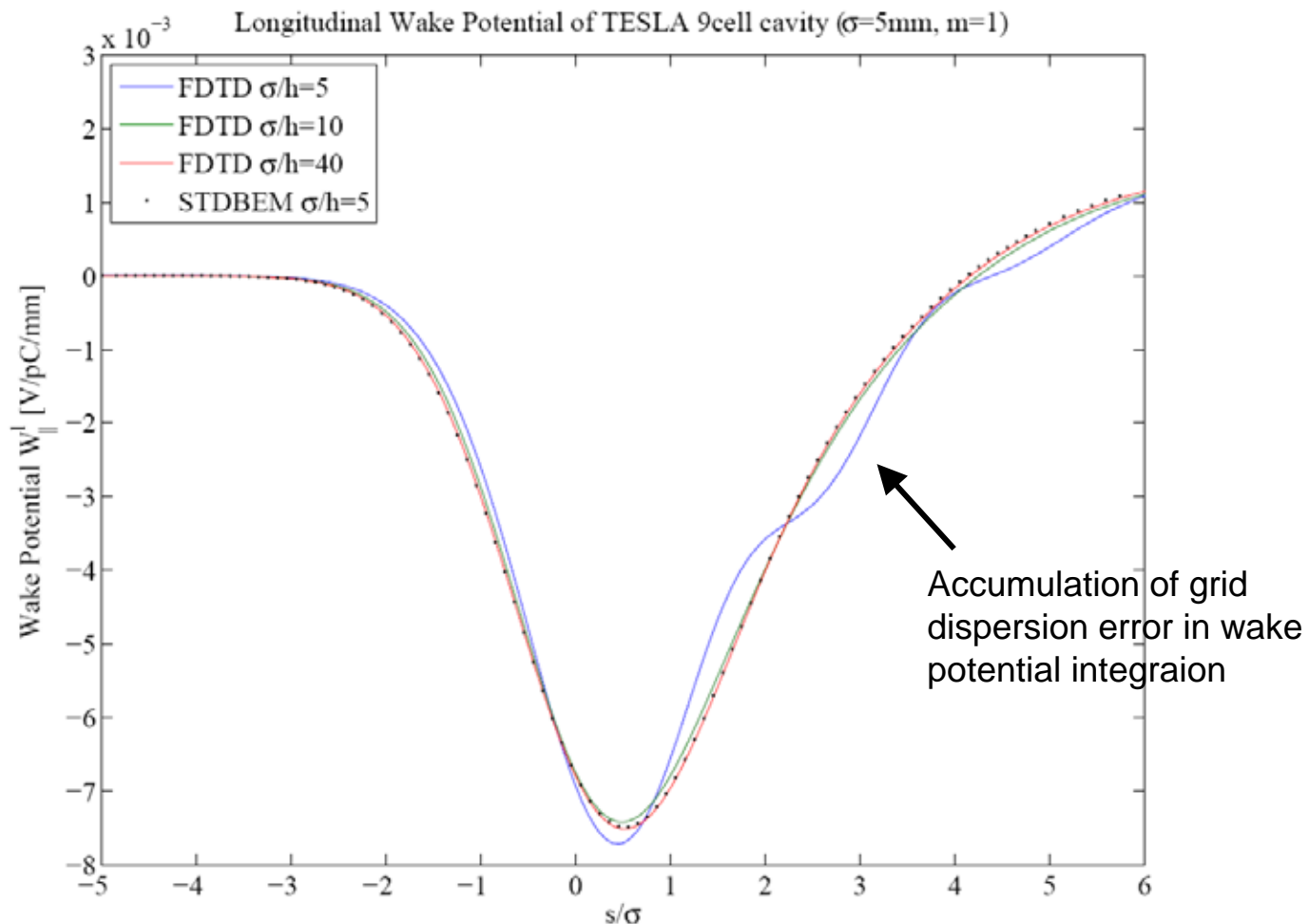
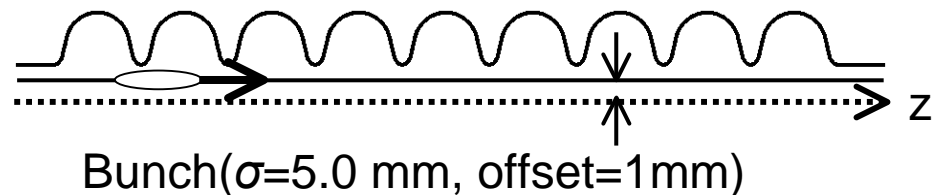
-Full matrix: 3.4 TB

-Moving window (with $N_t=40$) : 20.4 GB, 15.3 hours with HITACHI SR-11000/K1

-Moving window (no matrix): less than 500 MB, about 25 days

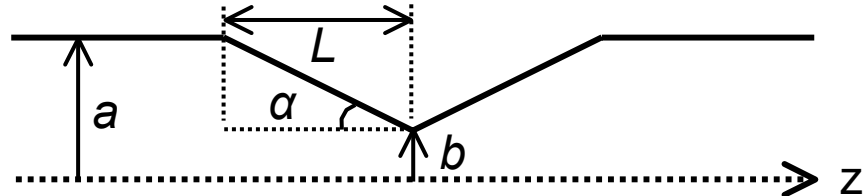
5. 2 TESLA 9セルキャビティ

軸対象2. 5次元+ウィンドウオプション
(ダイポールウェーク)

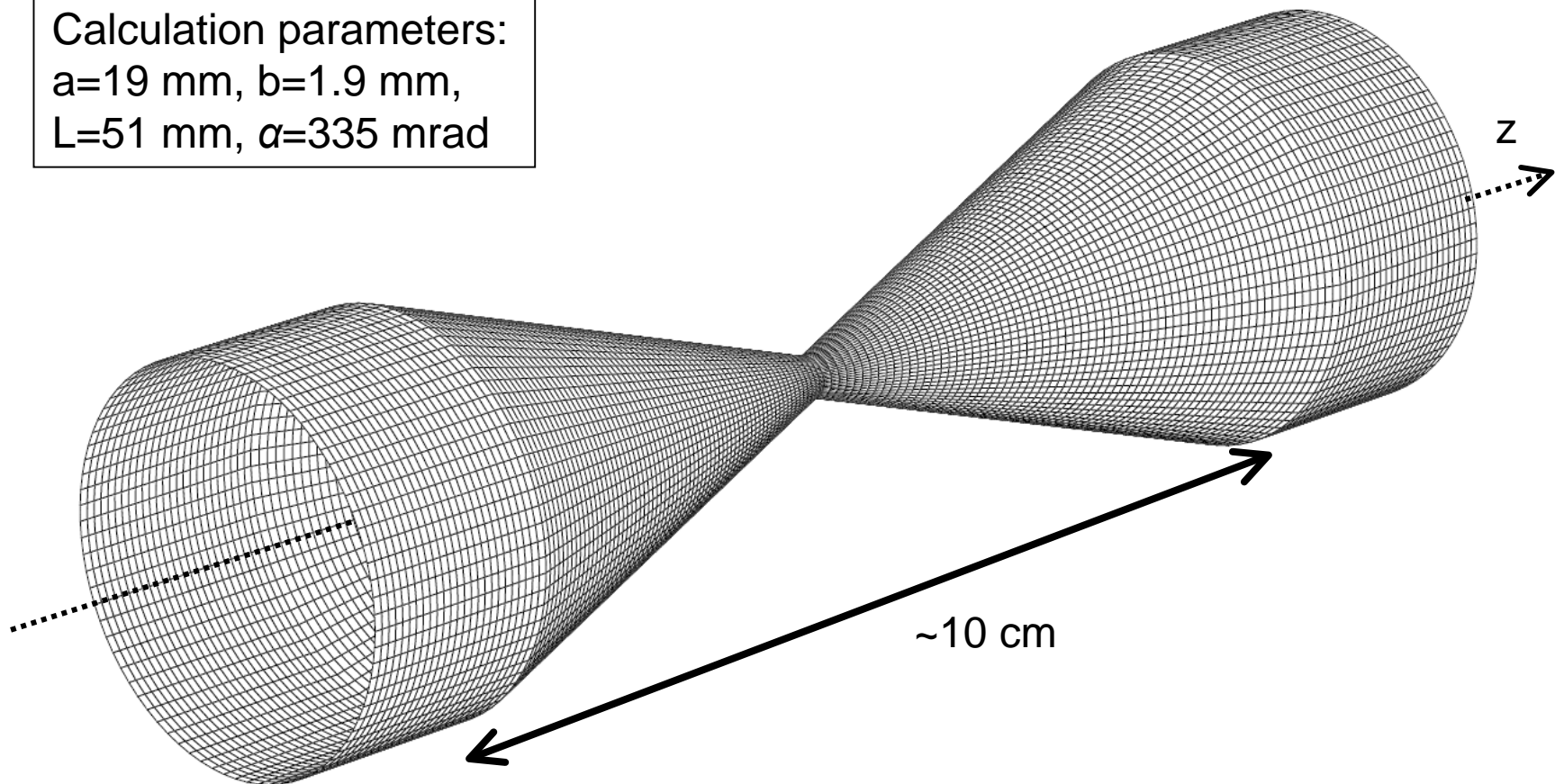


5. 3 Tapered Collimator

$$\rho = \tan(\alpha) b / \sigma = 0.1653$$

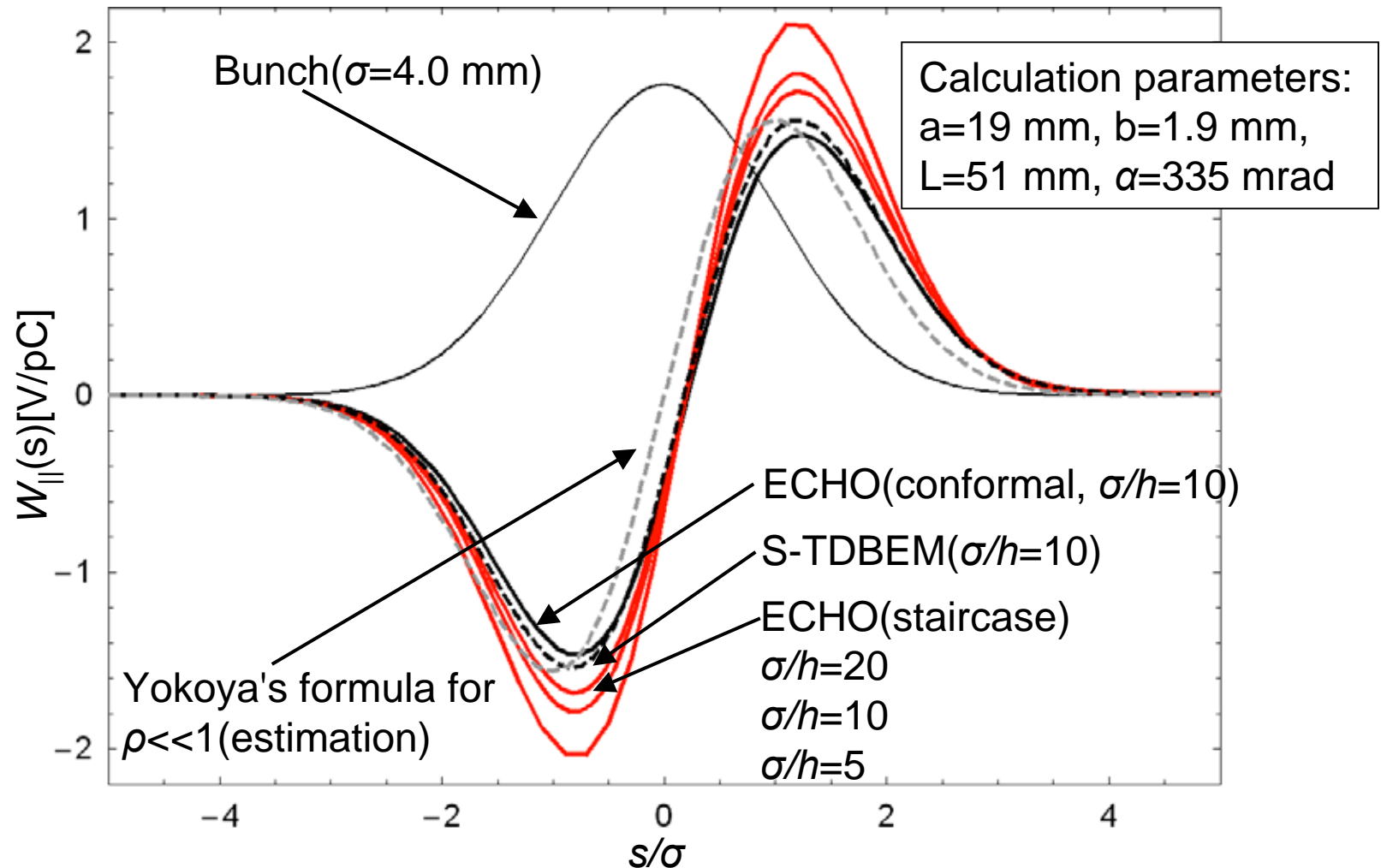
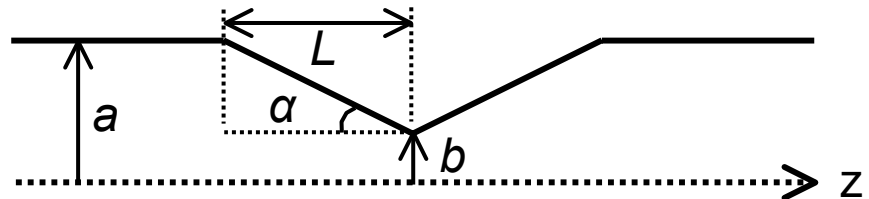


Calculation parameters:
a=19 mm, b=1.9 mm,
L=51 mm, $\alpha=335$ mrad



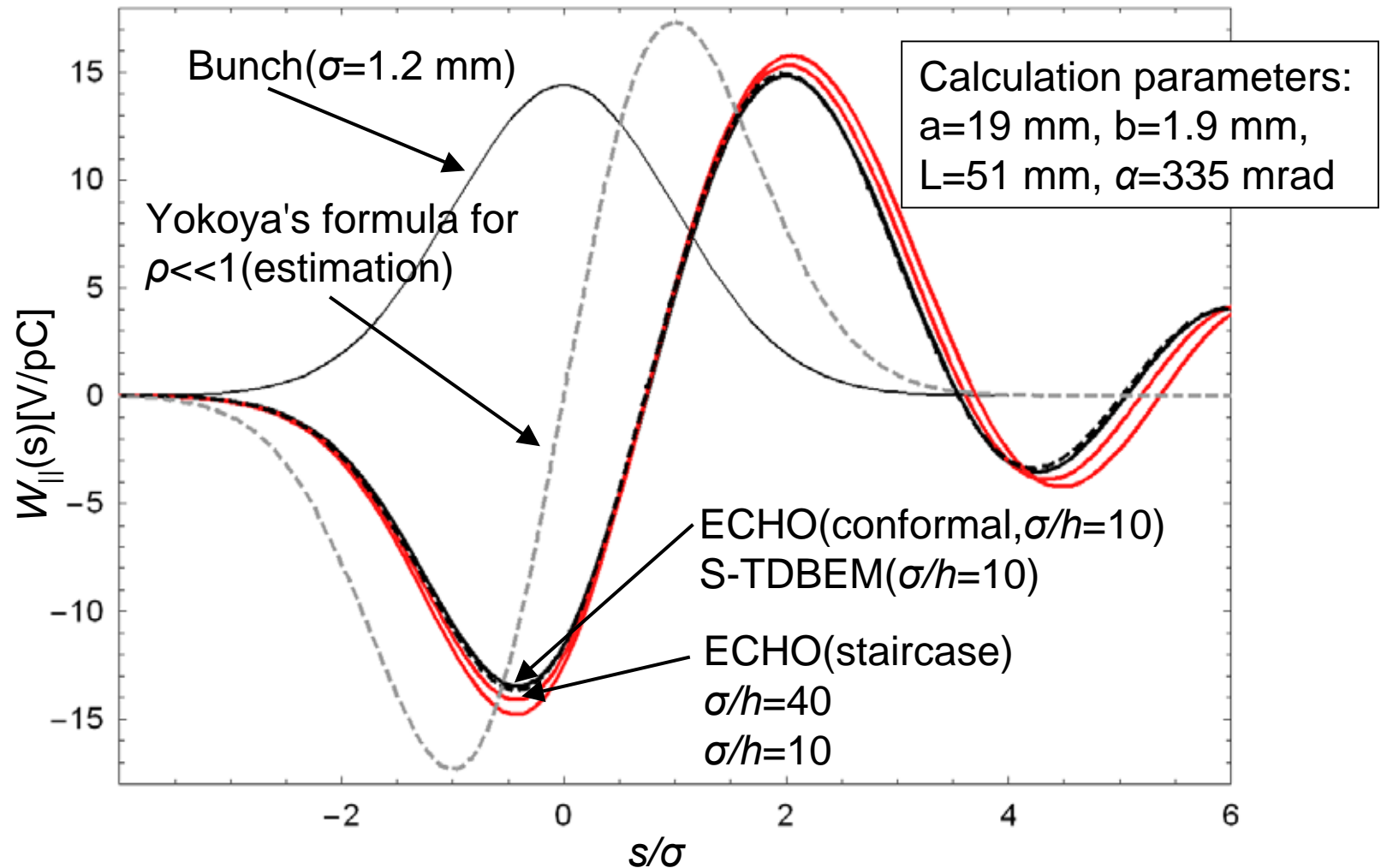
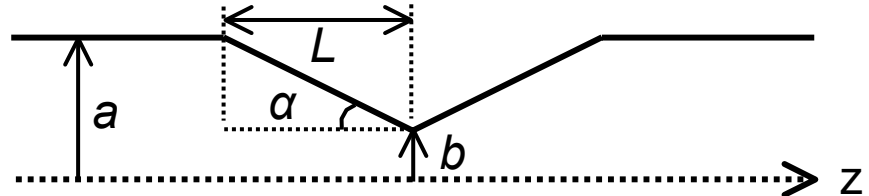
5. 3 Tapered Collimator

$$\rho = \tan(\alpha) b / \sigma = 0.1653$$



5. 3 Tapered Collimator

$$\rho = \tan(\alpha) b / \sigma = 0.5511$$



6. 今後の課題

フル3D化

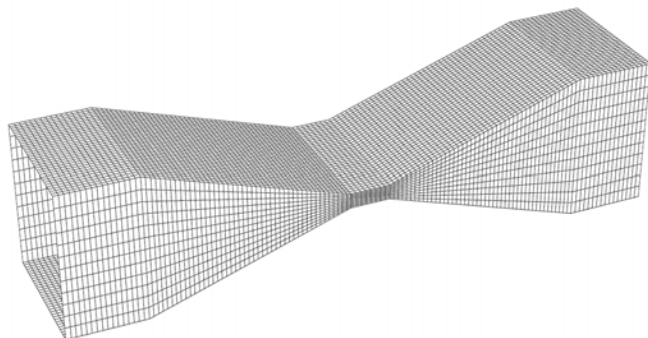
ウィンドウオプション化のコード作成済，実際の問題への適用

自己無撞着解析

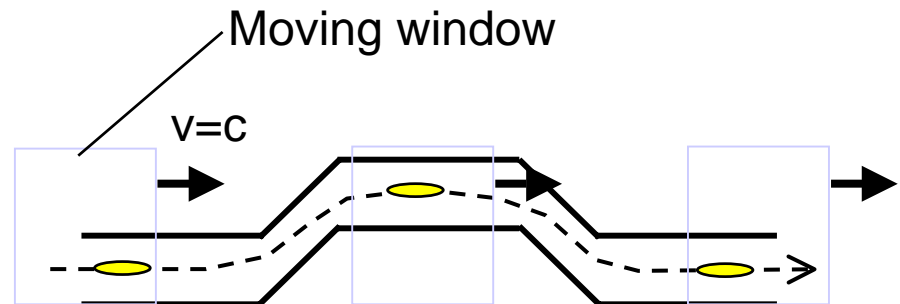
M. Dohlus のイメージ電荷法との比較

加速器科学への応用

3次元構造コリメーター



パンチコンプレッサー



ハイパフォーマンスコンピューティング

専用計算機の開発

A. 1 時間領域境界要素法専用計算機

システム構成

